

10 de noviembre de 2025
Archivo No. 01204123.21-13

Sr. Baitong Chen
Distrito de Gestión de la Calidad del Aire de la Costa Sur
21865 Copley Drive
Diamond Bar, California 91765

Asunto: Determinación del Comité de Reacción Mensual sobre los Límites del Área de Reacción del Vertedero de Chiquita Canyon - Castaic, California

Estimado Sr. Chen:

Conforme a las Condiciones No. 9a y 9b de la Orden de Depuración Estipulada Modificada (SOFA) en relación al Vertedero de Chiquita Canyon (el Vertedero o el Centro) (Caso No. 6177-4), el Comité de Reacción revisó los nuevos datos adquiridos aplicables registrados durante el mes de octubre de 2025, consideró las revisiones del alcance estimado de las condiciones del vertedero de temperaturas elevadas (ETLF) en el Centro de referencia (denominados límites del "Área de Reacción") y ha elaborado esta determinación sobre potencialmente revisar el mapa del Área de Reacción.

El Adjunto A presenta el Plano con el título "Mapa del Área de Reacción", preparado por SCS Engineers (SCS) con fecha 10 de noviembre de 2025. El Plano muestra el límite del Área de Reacción como se indica en la Condición No. 9a que corresponde a los límites de las Celdas 1/2A, 2B/3, 4 y al Módulo 2B/3/4 P2 como línea negra sólida. El Plano también muestra el alcance estimado de las condiciones de ETLF experimentadas en el sitio en base a la revisión de los datos científicos del Comité de Reacción como línea de puntos magenta. El fundamento que sirve como base para considerar ajustes y modificaciones en el límite del Área de Reacción (o la determinación de mantener el límite decretado) incluye lo siguiente:

- Temperaturas del cabezal del pozo de Biogás (LFG) que exceden aproximadamente los 160 grados Fahrenheit.
- Mala calidad del gas (definido como niveles de metano inferiores al 30 por ciento) junto con proporciones de metano-dióxido de carbono (CH₄:CO₂) inferiores a 1.0.
- La concentración de hidrógeno (H₂) en el LFG que mide más del 2 por ciento por volumen.
- La concentración de monóxido de carbono (CO) en el LFG que mide más del 2,000 ppm.
- Asentamiento acelerado de la superficie del vertedero, definida como aproximadamente 18 pulgadas o más dentro de un período de 60 días y grietas en la cubierta del vertedero. Esto corresponde a un índice de un valor de tensión (es decir, un índice de asentamiento) del 3 por ciento por año para zonas con profundidad de columnas de desechos de 300 pies, que creemos que es una profundidad promedio razonable en el tema de interés.
- Observaciones de primera mano del Vertedero y/o del personal de campo de ingeniería, construcción y operaciones y mantenimiento (O&M) de SCS que está en el sitio. 1) cantidades excesivas atípicas de lixiviados (presencia y cantidad de líquidos); 2) instancias de líquidos presurizados que salen de la superficie del vertedero, desde los pozos durante las perforaciones y desde los pozos de LFG; y 3) las



características de los olores que se originan en las áreas seleccionadas de la huella de desechos (generalmente descritas como "similares a productos químicos" y distintivamente diferentes del LFG típico u olores en el trabajo del vertedero)

- Observaciones de condiciones y características de los desechos de la subsuperficie como se indica en los registros de perforación del pozo para nuevos pozos y/o sondas, recién instalados.
- Temperaturas de la subsuperficie registradas en las sondas de temperatura de desechos in-situ durante octubre de 2025.
- Temperatura del gas o de los líquidos medida en profundidad dentro del tubo elevador del pozo de LFG (utilizando un transmisor automatizado o instrumentación de campo manual).
- Temperatura y presiones en la subsuperficie asociadas a las actividades de perforaciones para los nuevos pozos de extracción de gas durante octubre de 2025.

CONSIDERACIONES DE POTENCIALES AJUSTES AL ALCANCE ESTIMADO DE LAS CONDICIONES DLE ETLF (LÍNEA DE PUNTOS MAGENTA)

Al realizar sus determinaciones mensuales, el Comité de la Reacción evalúa los parámetros del set de datos arriba indicados, junto con otro más, para identificar tendencias significativas que indiquen condiciones de ETLF, en lugar de fluctuaciones exhibidas en puntos de datos aislados.

Cada mes, el Comité de la Reacción examina áreas particulares del Vertedero que previamente exhibieron datos anormales o fluctuantes, cuando aplica. Como se trata a continuación, el Comité ha determinado que hay suficientes datos para ajustar el límite, para incorporar un área pequeña distinta inmediatamente contigua (al este) al límite, como se determinó en el ejercicio mensual anterior. Este ajuste incluye tres pozos de extracción de LFG (TP-18) (CV-2333, CV-24126 y CV-25100S/D) y una sonda de monitoreo de temperatura, en base a las tendencias demostradas dentro de los datos de octubre de 2025 y en los datos de los últimos varios meses.

Cerca de CV-2333, CV-24126, CV-25100S/D y TP-18

El Comité de la Reacción ha estado supervisando muy de cerca las condiciones en y alrededor de CV-2333, CV-24126 y TP-18 y ha informado sobre esta área en los informes mensuales sobre la determinación desde junio de 2025. El pozo CV-2333 está colocado dentro de los 50 pies aproximadamente del límite delineado. y el pozo está en la proximidad cercana a las sondas de temperatura TP-18. El pozo CV-24126 está posicionado dentro de los 100 pies, aproximadamente del límite delineado. El pozo CV-25100S/D es un pozo anidado, que es un término que indica que el pozo posee dos tuberías de revestimiento poco profundas y profundas separadas dentro de un pozo común que se instaló el 10 de septiembre de 2025 que está posicionado dentro de los 75 pies aproximadamente del límite de lineado.

Mientras que la temperatura del pozo promedio medida en CV-2333 durante agosto y septiembre ha sido de solo 137 grados F, la calidad del LFG continuó siendo mala durante un tiempo extendido, exhibiendo una concentración de metano (CH₄) promedio de menos del 1 por ciento durante agosto y septiembre. La concentración de hidrógeno (H₂) medida en septiembre y octubre fue de un 13 y un 17 por ciento respectivamente.

La temperatura máxima del cabezal del pozo medida en CV-24126 durante septiembre y octubre fue de 186 grados F y la temperatura promedio durante los últimos tres meses es de 171 grados F. La temperatura promedio del cabezal del pozo registrada durante octubre aumentó a casi 184 grados F, que es significativamente más alta que la temperatura promedio registrada durante marzo a junio de 142 grados F. La calidad del LFG también es mala en CV-24126, que exhibió una concentración de CH₄ promedio del 4 por ciento durante agosto a octubre y la relación de CH₄:CO₂ en septiembre y octubre fue de 0.05 y 0.06 respectivamente, que es más baja que la relación de junio de 0.1. La concentración de H₂ medida en octubre fue de un 15 por ciento.

Al perforar el nuevo pozo anidado, el CV-25100, en la proximidad cercana al CV-24126, la temperatura máxima de los cortes de perforación tomada a 100 pies de profundidad fue de 190 grados F. Los eventos de monitoreo iniciales realizados en octubre indican una temperatura promedio en el cabezal del pozo en la tubería poco profunda del pozo de 180 grados F y la temperatura promedio en la tubería profunda a fines de octubre fue de 171 grados F. Hay concentraciones de metano pobres tanto en las tuberías de revestimiento del pozo poco profundas (3.6%) como profundas (11%). El revestimiento poco profundo midió contenido de H₂ al 16.2% y la relación de CH₄:CO₂ en ambas tuberías de revestimiento del pozo fue de menos de 0.3.

Durante octubre, la temperatura registrada en la termocupla a 45 pies de profundidad en TP-18 aumentó constantemente de 167 a 177 grados F. Este valor máximo es un aumento de 32 grados F de las temperaturas iniciales registradas en abril de 2025 de 145 grados F. Se notó que las temperaturas estaban aumentando levemente en TP-18 por algunos meses, pero el aumento de 10 grados F durante octubre es más notable que en los aumentos anteriores.

Por consiguiente, el Comité de la Reacción ajustó el límite de la reacción dirigido por datos (línea de puntos magenta) levemente hacia el este para incluir CV-2333, CV-24126, CV-25100S/D y TP-18. Mientras que reconocemos que probablemente está habiendo un movimiento de calor y de gas de la reacción hacia el este de esta región a través de los colectores horizontales profundos de legado, los cambios acumulados que se notaron en los datos de octubre sugieren que probablemente hay condiciones de ETLF presentes dentro de los materiales de desecho enterrados alrededor de CV-2333, CV-24126, CV-25100S/D y TP-18. .

Además, a pesar de varianzas menores en áreas discretas del vertedero, el Comité de la Reacción no ha discernido ninguna tendencia significativa con respecto a los datos de octubre de 2025 que indiquen que la reacción se ha expandido a las áreas tratadas a continuación.

Cerca de CV-24009

El pozo CV-24009 está posicionado dentro de los 60 pies, aproximadamente de la línea limítrofe delineada. Este pozo registró una temperatura máxima de cabezal de pozo de LFG de 170 grados F durante septiembre, pero las temperaturas promedio de los cabezales de pozos de LFG medidas durante Agosto a septiembre en este pozo fueron de 157 grados F.

La calidad del LFG es marginal en CV-24009, que exhibió una concentración de CH₄ promedio del 19 por ciento durante agosto a octubre y la relación de CH₄:CO₂ en octubre fue de 0.6. La concentración de H₂ medida en septiembre y octubre fue de un 7.5 y un 8.1 por ciento respectivamente.

La temperatura del cabezal del pozo en el pozo contiguo CV-24008 promedió solo 99 grados F durante agosto a octubre. La calidad del LFG en este pozo es mala, con una concentración de CH₄ promedio de solo el 2 por ciento; sin embargo la concentración de H₂ es de solo el 3 por ciento. Este pozo tuvo una presión por debajo de un número positivo durante octubre, que puede haber influenciado las mediciones.

El Comité de la Reacción ha identificado movimiento de gases desde adentro de la zona reactiva a través de colectores horizontales como la potencial causa del calor y la tendencia a largo plazo del gas de calidad marginal a mala en estos pozos. Específicamente, el pozo CV-24009 está posicionado inmediatamente contiguo a H-1769 (a una elevación de 1335 pies), que se extiende cientos de pies en la zona reactiva, por lo tanto es posible que la fuente de calor y el gas de la reacción en este pozo vertical se compensen a una distancia y se esté transportando hacia los pozos por la tubería de los colectores horizontales y la zanja. Además, CV-24009 tiene una bomba de desagote específica, por lo tanto el reciente aumento en las temperaturas y la presencia de mayor gas de la reacción (a diferencia del biogás típico) tal vez puedan atribuirse a la reducción de los niveles de lixiviados asentados en esta cercanía, que está permitiendo el movimiento de calor y gas por los espacios vacíos.

Celda 2 Fase 2B

El Comité de la Reacción consideró los datos compilados de los pozos dentro y contiguos a la Celda 2 Fase 2B, específicamente de los pozos CV-113, CV-2208A, CV-2334, CV-24120, CV-24127 y CV-24135. Estos pozos están posicionados entre aproximadamente 100 y 300 pies más allá del límite delineado, excepto el pozo CV-2208A, que se compensa a una mayor distancia hacia el este. Estos pozos generalmente experimentaron temperaturas promedio durante agosto a octubre de menos de 153 grados F, excepto eventos de monitoreo únicos en los pozos CV-113 and CV-24127 durante octubre que registraron temperaturas de cabezales de pozos de LFG máximas de 188 y 178 grados F respectivamente. Sin embargo, otras temperaturas registradas en estos pozos durante el mes fueron significativamente más bajas.

La calidad del LFG es mala (bajo contenido de metano) en dos de los seis pozos (CV-113 y CV-24120), marginal (aproximadamente un 22 por ciento) en tres de los seis pozos (CV-2208A, CV-24127 y CV-24135) y CV-2334 demuestra que está ocurriendo metanogénesis fuerte con una concentración promedio de CH4 del 36 por ciento durante agosto a octubre. Dos pozos registraron concentraciones de H2 importantes, por encima del 12 por ciento (CV-2208A y CV-24135), mientras que los otro cuatro pozos exhibieron concentraciones de H2 de menos del 6 por ciento.

Considerando las temperaturas relativamente bajas que se exhiben típicamente en estos cabezales de pozos, además de la evidencia de que no se está impidiendo completamente la metanogénesis, el Comité de la Reacción no cree que se justifique en este momento un ajuste en el límite de la Zona Reactiva para que incluya las partes de la huella de desechos que incluya estos seis pozos dentro o contiguos a la Celda 2 Fase 2B.

Cañón C Celda 1

El Comité de la Reacción consideró los datos compilados de los pozos dentro del Cañón C, Celda 1, específicamente los pozos CV-2011A y CV-24118. Estos pozos se compensan a una gran distancia hacia el este del límite delineado. Estos pozos están experimentando contenido de metano marginal (26 y 17 por ciento respectivamente) y contenido de H2 elevado (17 y 8 por ciento respectivamente); sin embargo, las temperaturas promedio en el cabezal del pozo durante agosto a octubre son menores a 150 grados F, excepto eventos de monitoreo únicos en el pozo CV-24118 durante octubre que registraron temperaturas máximas en el cabezal del pozo de LFG de aproximadamente 153 grados F. Sin embargo, otras temperaturas registradas en este pozo durante el mes fueron un poco más bajas.

Considerando las temperaturas relativamente bajas que generalmente se exhiben en estos cabezales de pozos, además de la evidencia de que no está completamente impedida la metanogénesis y que puede estar reduciéndose naturalmente debido a la antigua edad de los desechos colocados en esta región y al hecho de que los pozos de los alrededores no demuestran circunstancias similares (esto significa que estas características están aisladas a solo

estos dos pozos que no están posicionados cerca uno del otro), el Comité de la Reacción no cree que se justifique en este momento un ajuste en el límite de la Zona Reactiva para que incluya las partes de la huella de desechos que incluya estos dos pozos dentro del Cañón C, Celda 1.

Cerca del Límite Este de la Celda 1/2A

El Comité de la Reacción consideró los datos compilados de los pozos posicionados al este del límite delineado actual dentro de la Celda 1/2A, específicamente los pozos CV-2305, CV-24076 y CV-2558, el último actualmente siendo designado como inactivo debido a reparaciones del pozo, que pueden influenciar los datos que se están registrando. Estos pozos están posicionados dentro de los 200 pies de la línea limítrofe delineada. Estos pozos están experimentando contenido de metano marginal (menos del 14 por ciento) y CV-2305 exhibió contenido de H₂ del 13 por ciento durante octubre, que fue un aumento del 5 por ciento registrado en septiembre. Sin embargo, las temperaturas promedio en el cabezal del pozo durante agosto a octubre estuvieron entre 133 y 136 grados F para los pozos CV-2305 y CV-24076. La temperatura promedio del cabezal del pozo durante septiembre y octubre en el pozo CV-2558 fue de 157 grados F, pero esto podría atribuirse a acumulación de calor porque el pozo estaba experimentando menos vacío y flujo aplicados cuando necesitó reparaciones.

Considerando las temperaturas relativamente bajas que generalmente se exhiben en estos cabezales de pozos, además del hecho de que pueden ser condiciones relativamente a corto plazo asociadas a que se sacaron temporalmente de la infraestructura del sistema de LFG debido al despliegue de la cubierta de membrana expuesta, el Comité de la Reacción no cree que se justifique en este momento un ajuste en el límite de la Zona Reactiva para que incluya las partes de la huella de desechos que incluye estos tres pozos a lo largo del límite este de la Celda 1/2A.

Inmediatamente al Sur del Límite en los Módulos 2/3B y 4

El Comité de la Reacción consideró los datos compilados de los pozos posicionados inmediatamente al sur del límite actual delineado dentro del Módulo 2/3B y del Módulo 4, específicamente 9 pozos en una proximidad relativamente cerca de la línea limítrofe delineada (CV-2001, CV-2344, CV-2345, CV-2346, CV-2347, CV-2350, CV-2466, CV-24079/TP-08 y CV-2541). Seis de estos pozos exhibieron contenido de H₂ de menos del 5 por ciento y los otros tres pozos registraron concentraciones de entre un 7 y un 14 por ciento durante septiembre y octubre. El contenido de metano promedio en estos nueve pozos medido durante agosto a octubre fue generalmente bajo (entre un 6 y un 27 por ciento); sin embargo, las temperaturas promedio en los cabezales de pozos durante agosto a octubre fueron de menos de 150 grados F, que es inconsistente con el calor que generalmente aparece por características de ETLF.

Considerando las temperaturas relativamente bajas que generalmente se exhiben en estos cabezales de pozos, además del hecho de que pueden ser condiciones relativamente a corto plazo asociadas a que se sacaron temporalmente de la infraestructura del sistema de LFG debido al despliegue de la cubierta geosintética adicional, el Comité de la Reacción no cree que se justifique en este momento un ajuste en el límite de la Zona Reactiva para que incluya las partes de la huella de desechos al sur de la línea limítrofe en los Módulos 2/3B y 4 incluyendo estos nueve pozos.

Como se exhibe en los mapas de rango de gradiente isotérmico que se incluyen como **Adjunto C** de este Informe de Determinación de Zona Reactiva mensual, las temperaturas de los cabezales de pozos de biogás registradas cada mes demuestran varias subáreas dentro del límite dirigido por datos que exhiben consistentemente temperaturas sustancialmente más bajas que otros cabezales de pozos dentro de este límite. Una subárea está posicionada en la parte sur central de la zona reactiva dirigida por datos y otro está posicionado en

la parte central este. Ambas subáreas contienen pozos que exhiben temperaturas que están por debajo de los 145 grados F y muchas son tan bajas como 130 grados F. El Comité de la Reacción continúa revisando y analizando los datos registrados en los pozos dentro de estas subáreas para evaluar si varios parámetros operativos indican que la gravedad de la reacción se está reduciendo dentro de estas subáreas, como se evidencia con la reducción de temperaturas y el aumento de las relaciones de metano a dióxido de carbono y la reducción del contenido de hidrógeno en pozos selector dentro de estas subáreas.

DATOS DE LAS SONDAS DE MONITOREO DE TEMPERATURA

El Comité de la Reacción revisó las mediciones de temperatura registradas durante octubre de 2025 utilizando las sondas de monitoreo de temperatura in-situ. A octubre de 2025, seis de las 32 sondas (TP-2, TP-3, TP-9, TP-11, TP-15 y TP-21) están dentro del alcance estimado actual de las condiciones del ETLF (línea de puntos magenta). De las veintisiete (26) sondas restantes colocadas fuera de los límites, doce sondas se encuentran ubicadas dentro de una proximidad relativamente cercana (dentro de los 200 pies) de este límite.

El Comité de la Reacción evaluó las temperaturas máximas durante 30 días registradas en TP-24, TP-26, TP-29, TP-30 y TP-31, que se han mantenido relativamente consistentes durante el período de 6 semanas previo del 25 de septiembre al 5 de noviembre de 2025, excepto varios aumentos un mismo día y posteriores reducciones en el intervalo de 240 pies en TP-29. La temperatura máxima en esta termocupla de 193 grados F ocurrió un solo día y la temperatura promedio durante el período de 30 días fue de solo 184 grados F.

Las temperaturas máximas registradas durante octubre en termocuplas específicas en TP-24, TP-29 y TP-31 están en 190 grados F o más, que podrán no ser significativamente elevadas para zonas de desechos más profundas, pero son potencialmente indicativas de generación y acumulación de calor, asociado a condiciones de reacción cuando están presentes junto con cambios en la composición del gas, producción excesiva de lixiviados, cambios en la composición de lixiviados, asentamiento acelerado, presiones excesivas y otras características de ETLF. Hay una menor diferenciación entre las temperaturas máximas en 30 días en estas tres sondas, comparadas con las temperaturas máximas en 30 días medidas en las cuatro sondas dentro de la extensión estimada actual de las condiciones de ETLF (línea de puntos magenta), específicamente TP-3, TP-9, TP-15 y TP-21. Sin embargo, los cuatro pozos que están alrededor de TP-24 registraron temperaturas promedio en los cabezales de pozos de LFG durante agosto a octubre de 113 grados F, que está muy por debajo del rango asociado a condiciones de ETLF y también registraron concentraciones de metano promedio del 39 por ciento durante este período, que es consistente con producción de metano de biogás típico para estas instalaciones. Los dos pozos que rodean TP-29 registraron temperaturas promedio en el cabezal del pozo de LFG durante agosto a octubre de 130 grados F y concentraciones de metano promedio del 46 por ciento durante este período, que sugiere condiciones de descomposición normal de la subsuperficie asociada a la producción de metano. Los tres pozos que están alrededor de TP-31 registraron temperaturas de cabezal de pozo de LFG promedio durante agosto a octubre que varían de 113 a 142 grados F. Mientras que la concentración de metano promedio en CV-2319 es del 17 por ciento, la concentración de metano promedio en CV-24111 durante los últimos tres meses fue del 42 por ciento. Entonces, los pozos que están alrededor de estas tres sondas no exhiben evidencia de calor atípico o de la composición del LFG asociado a condiciones de ETLF.

Por lo tanto, el Comité de la Reacción no cree que se justifique en este momento un ajuste en el límite de la Zona Reactiva que incluya las partes de la huella de desechos que incluya TP-24, TP-26, TP-29, TP-30 y TP-31.

CONCENTRACIONES DE HIDRÓGENO

El Comité de Reacción también evaluó la concentración de H₂ en el LFG durante octubre de 2025. Recordamos que ciertos pozos posicionados al Sur este del límite de la Zona Reactiva (donde se reactivó la bomba de desagüe pero desde ese momento experimentó algunos retiros de servicio temporales debido a la instalación de la cubierta) habían demostrado periódicamente algún aumento en el contenido de H₂ en el LFG durante la revisión del Comité de Reacción de los datos de los meses anteriores, que fue un caso similar para los datos de octubre de 2025. El Comité de la Reacción notó en su revisión de los datos que estos pozos no exhibieron temperaturas elevadas. No hubo evidencia de mayor calor que es algo típico en condiciones de ETLF en los pozos que exhiben concentraciones de H₂ atípicas (excepto eventos únicos en los pozos CV-113 y CV-24127). Como se notó previamente, el Comité de la Reacción sospecha que este aumento en el contenido de H₂ podría atribuirse a los sustanciales desagües que se están logrando en toda la Zona Reactiva y podría estar asociado al movimiento de gas desde adentro de la Zona Reactiva por los colectores horizontales cercanos existentes. Por lo tanto, la presencia de H₂ elevado en estos lugares aislados no sugieren que las condiciones de ETLF se estén expandiendo hacia el sur y hacia el este del límite delineado. Por lo tanto, el Comité de Reacción no cree que se justifique un ajuste en el límite de la Zona Reactiva, excepto el ajuste indicado arriba, en este momento.

CONCLUSIÓN

Como se presenta en el Plano incluido como **Adjunto A**, el alcance estimado de las condiciones de ETLF (línea de puntos de color magenta) está completamente contenida dentro del límite del Área de Reacción decretado en la SOFA (línea sólida negra). Como las condiciones del ETFL están completamente contenidas dentro del límite del Área de Reacción y no experimentaron ninguna celda nueva, el Comité de Reacción no encuentra ninguna base para modificar el límite del Área de Reacción como se indica en la Condición 9a, en este momento.

No hubo ninguna opinión disidente entre los miembros del Comité de Reacción sobre esta determinación mensual. Los datos de respaldo se presentan en el Plano incluido como **Adjunto A**. Las mediciones de temperaturas máximas registradas en las 32 sondas de monitoreo de temperatura de los desechos in-situ (tanto valores de 7 Días como de 30 Días) durante octubre se presentan en el **Adjunto B** en formato gráfico. Las temperaturas de los pozos de LFG registradas en los pozos de extracción para toda la huella del Vertedero se reflejan en el mapa del rango de gradientes isotérmicas presentado como **Adjunto C**. Las relaciones de CH₄:CO₂ medidas en los cabezales de los pozos de LFG cerca del límite de la Zona Reactiva indicado por los datos se muestran en el mapa de rangos presentado como **Adjunto D**. Las concentraciones de H₂ medidas en los cabezales de los pozos de LFG cerca del límite de la Zona Reactiva indicado por los datos se muestran en el mapa de rangos presentado como **Adjunto E**. Las concentraciones de CO medidas en los cabezales de los pozos de LFG cerca del límite de la Zona Reactiva indicado por los datos se muestran en el mapa de rangos presentado como **Adjunto F**. Los valores isopáquicos del asentamiento de la superficie medidos trimestralmente (los del 2 de julio de 2025 comparados con los del 1 de octubre de 2025) cerca del límite de la Zona Reactiva indicada por los datos se muestran en el mapa de rangos presentado como **Adjunto G**. La base de datos electrónica y la plataforma que guarda los registros permite que estas mediciones se descarguen en un formato de hoja de cálculo tabular, que puede presentarse al Distrito de Gestión de la Calidad del Aire de la Costa Sur en una carátula separada, si se solicita.

Sr. Baitong Chen
10 de noviembre de 2025
Página 8

Por favor, comuníquese con el firmante si tiene preguntas o si necesita más información.

Atentamente,



Robert E. Dick, PE, BCEE
Vicepresidente Sénior
SCS Engineers



Patrick S. Sullivan, BCES, CCP
Vicepresidente Sénior
SCS Engineers

RED/PSS

cc: Nathaniel Dickel, SCAQMD
Christina Ojeda, SCAQMD
Patrick S. Sullivan, REPA, CPP, BCES, SCS Engineers
Pablo Sánchez Soria, PhD, CIH, CTEH
Neal Bolton, PE, Blue Ridge Services, Inc.
Richard Pleus, PhD, Intertox
Srividhya Viswanathan, PE, SCS Engineers

Adjuntos:

- Adjunto A - Mapa del Área de Reacción
- Adjunto B – Datos de las Sondas de Monitoreo de Temperatura de los Desechos In-Situ
- Adjunto C – Mapa de Distribución de Gradiente Isotérmico
- Adjunto D – Mapa del Rango de Metano a Carbono en el Cabezal del Pozo
- Adjunto E – Mapa del Rango de Hidrógeno en el Cabezal del Pozo
- Adjunto F – Mapa del Rango de Monóxido de Carbono en el Cabezal del Pozo
- Adjunto G - Mapa del Rango Isopáquico del Asentamiento

1 2 3 4 5 6 7 8 9 10 11 12 13 14 15

ATTACHMENT A

A

B

C

D

E

F

G

H

I

J

MODULE 2B/3/4 P2

CELL 2 PHASE 2A

MODULE 2B/3

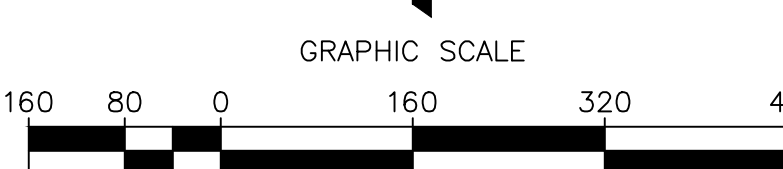
CANYON C CELL I

MODULE 5

CANYON D

CELL 6

A-D RIDGE



- LEGEND**
- EXISTING CELL LIMITS (APPROXIMATE)
 - EXISTING VERTICAL WELLS
 - EXISTING VERTICAL WELL - PRESSURIZED LEACHATE RELEASE
 - EXISTING HORIZONTAL WELLS
 - EXISTING REMOTE VERTICAL WELLHEAD
 - EXISTING PERIMETER MIGRATION PROBE
 - EXISTING TEMPERATURE PROBE
 - EXISTING HORIZONTAL COLLECTOR - SOLID
 - EXISTING HORIZONTAL COLLECTOR - PERFORATED
 - EXISTING HISTORIC HORIZONTAL COLLECTOR
 - REACTION AREA BOUNDARY (APPROXIMATE) - BASED ON DATA REVIEW
 - REACTION AREA BOUNDARY - CONDITION 9A

PROJECT TITLE: CHIQUITA CANYON LANDFILL CASTaic, CALIFORNIA



SCS ENGINEERS
ENVIRONMENTAL CONSULTANTS

DATE: 11/10/2025
SCALE: AS SHOWN
SHEET: 1
DRAWN BY: WCH
CHECKED BY: WCH/SM
APPROVED BY: AEK
FILE NUMBER: 01204123.41
PROJ. NO.: 390 KILROY AIRPORTWAY SUITE 300
PH: (562) 426-9544

#	Well I.D.	Bore Depth (ft.)	Casing Depth (ft.)	Date of Installation	Excavated/Exposed Waste Characterization	Excavated/Exposed Waste Moisture
1	CV-2527	192	190	10/3/2025	None to Little → Severe	Dry → Saturated
2	CV-2521	180	178	10/6/2025	None to Little → Moderate	Dry → Moist
3	CV-2520	177	175	10/7/2025	None to Little → Severe	Dry → Saturated
4	CV-2522	159	157	10/8/2025	None to Little → Severe	Dry → Saturated
5	CV-2539	175	173	10/9/2025	None to Little → Severe	Dry → Saturated
6	CV-2535	183	181	10/10/2025	None to Little → Severe	Dry → Saturated
7	CV-2537	145	143	10/16/2025	None to Little → Severe	Dry → Saturated
8	CV-2538	161	159	10/17/2025	None to Little → Severe	Dry → Saturated
9	CV-2570	190	188	10/21/2025	None to Little → Severe	Dry → Saturated
10	CV-2569	195	193	10/22/2025	None to Little → Severe	Dry → Saturated
11	CV-2568	186	184	10/24/2025	None to Little → Severe	Dry → Saturated
12	CV-2567	195	193	10/27/2025	None to Little → Severe	Dry → Saturated
13	CV-2565	171	169	10/29/2025	None to Little → Severe	Dry → Saturated

GENERAL DRAWING NOTES:

- NORTH ARROW SHOWN HERE IS REFERENCE TO THE CALIFORNIA STATE PLANE ZONE V COORDINATE SYSTEM, NAD 83.
- THE LOCATION OF ANY EXISTING PIPING, VALVES, TIE-IN LOCATIONS AND OTHER FEATURES ARE APPROXIMATE AND SHOULD BE USED FOR INFORMATION PURPOSES ONLY.

ADJUNTO B

Perfiles de Temperatura Máxima en
Cabezales de Pozos de Desechos
Sólidos Durante 6 Semanas

del 25/9/2025 al 5/11/2025

SCS ENGINEERS

07224053.00

| 6 de noviembre de 2025

274 Granite R Drive
Lancaster, PA 17601
717-550-6330

Desde el 30 de octubre de 2025 hasta el 5 de noviembre de 2025 hubo dos reducciones de temperatura registradas y no hubo aumentos de temperatura registrados que hayan activado los límites de aviso establecidos por la carta de la LEA del 4 de octubre de 2024.

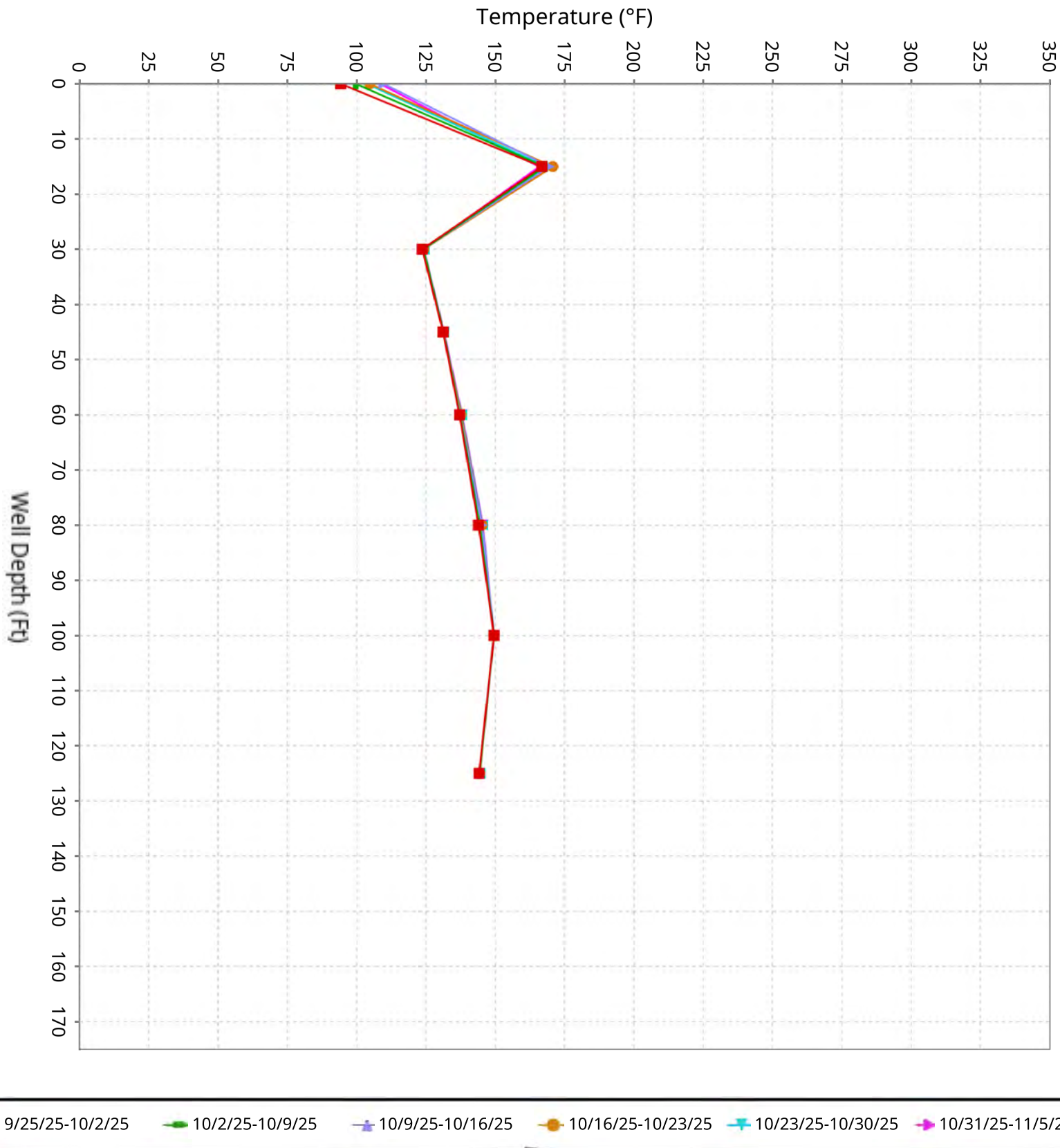
Además, al 4 de abril de 2025, se instalaron doce TMPs nuevas (TMP-24, TMP-25, TMP-26, TMP-27, TMP-28, TMP-29, TMP-30, TMP-31, TMP-32, TMP-34 y TMP-35) que ya están en línea. Ninguna de estas nuevas doce TMPs indican que hayan ocurrido temperaturas de reacción fuera del límite de la zona reactiva dirigido por datos actualmente delineado y las cuatro TMPs que pudieron perforarse dentro de los 25 pies del revestimiento (TMP-24, TMP-27, TMP-31 y TMP-32) indican temperaturas significativamente más frescas en la termocupla más profunda, como se previó, debido al enfriamiento de la tierra subyacente.

Chiquita proporciona las siguientes actualizaciones:

- TP-2
 - La termocupla de 60 pies mostró una reducción en la temperatura máxima de 11°F de 168°F a 157°F desde el 4 de noviembre hasta el 5 de noviembre.
- TP-03
 - La termocupla a 30 pies se mantuvo consistente con las temperaturas registradas previas.
- TP-07
 - Como se informó previamente, la termocupla a los 60 pies indicó lecturas anómalas del 2 de octubre al 13 de octubre de 175 °F hasta 2,507 °F, del 19 de octubre al 21 de octubre y del 30 de octubre al 31 de octubre, indicando problemas con la termocupla y además indicando que las lecturas probablemente fueron erróneas. Se revisó el cableado en la termocupla que estaba a 60 pies y se volvió a conectar. Desde ese momento continuaron las lecturas erróneas y se está evaluando el reemplazo de la termocupla a 60 pies in las próximas semanas. Ninguna otra termocupla en TP-07 indicó ningún cambio de este tipo en las temperaturas.
- TP-08
 - Como se informó previamente, la termocupla a los 150 pies indicó lecturas anómalas el 6 de octubre y el 7 de octubre de 2,507 °F, indicando problemas con la termocupla y además indicando que las lecturas probablemente fueron erróneas. Después de una investigación en el Campo, se descubrió que el cableado de la termocupla a 150 pies estaba suelto y se reparó. Las lecturas posteriores fueron consistentes con las temperaturas registradas previas y ninguna otra termocupla en TP-08 mostró cambios de temperatura.
 - La termocupla a 150 pies se mantuvo consistente con las temperaturas registradas previas.
- TP-10
 - Como se informó previamente, todas las termocuplas, excepto la termocupla que está a 45 pies, indicaron lecturas anómalas el 24 de octubre. Las lecturas posteriores fueron consistentes con las temperaturas registradas previas y ninguna termocupla mostró cambios de temperatura. Se están evaluando todas las termocuplas para ver si hay que cambiarlas en las próximas semanas.
- TP-16
 - Como se informó previamente, la termocupla que está a 45 pies mostró lecturas anómalas el 11, el 13 y el 14 de octubre, de 2,507 °F y después lecturas por debajo de los 100 °F en lecturas posteriores, indicando problemas con la termocupla. Se está evaluando la termocupla que se encuentra a 45 pies para ver si hay que repararla/cambiarla las próximas semanas.
- TP-21
 - La termocupla de 70 pies mostró una reducción en la temperatura máxima de 11°F de 208°F a 197°F desde el 29 de octubre hasta el 5 de noviembre.

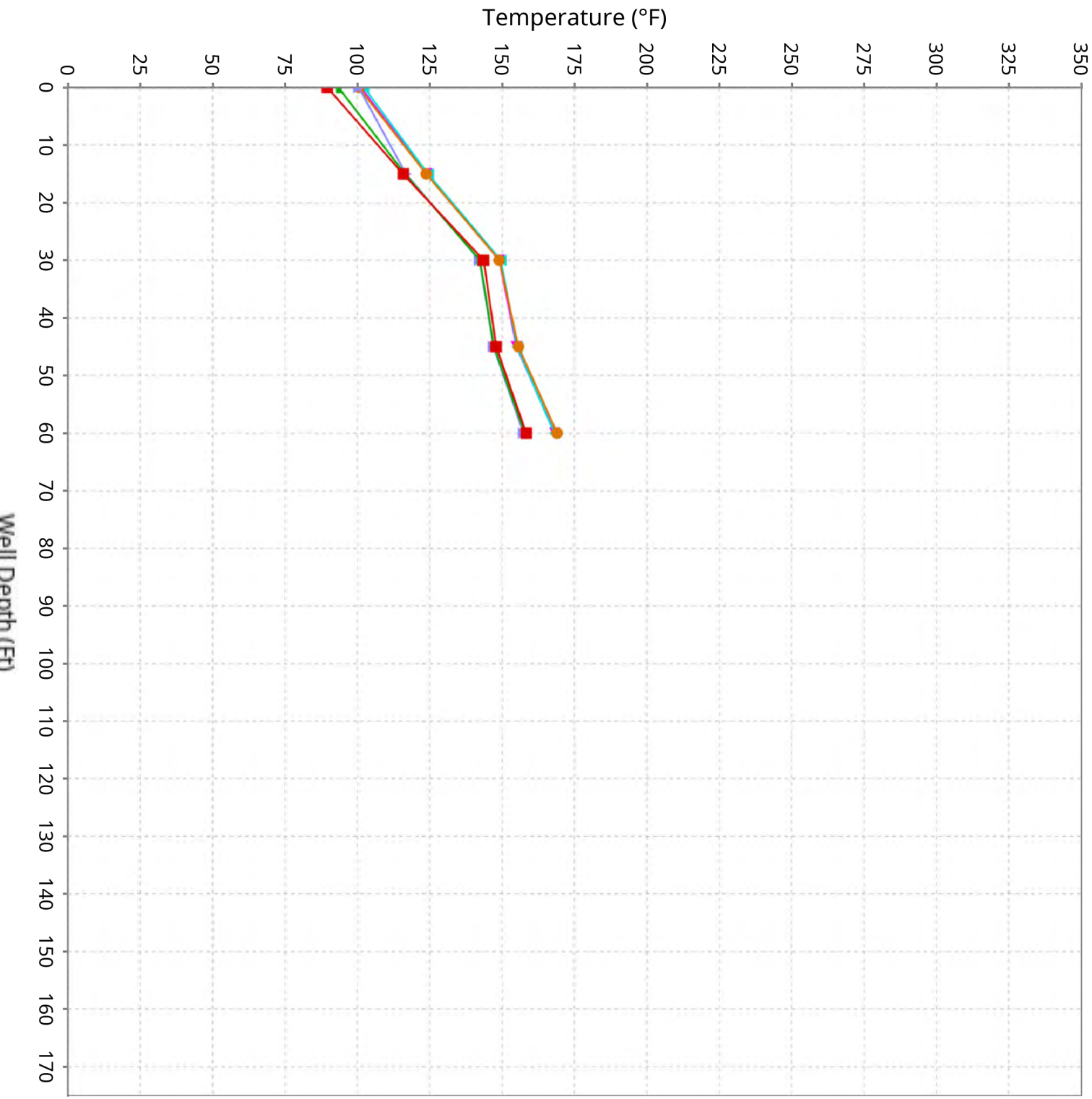
Vertical Temperature Profiles from Temperature Probes at Chiquita Landfill for TP-1

Maximum data for 9/25/2025 to 11/5/2025



Vertical Temperature Profiles from Temperature Probes at Chiquita Landfill for TP-2

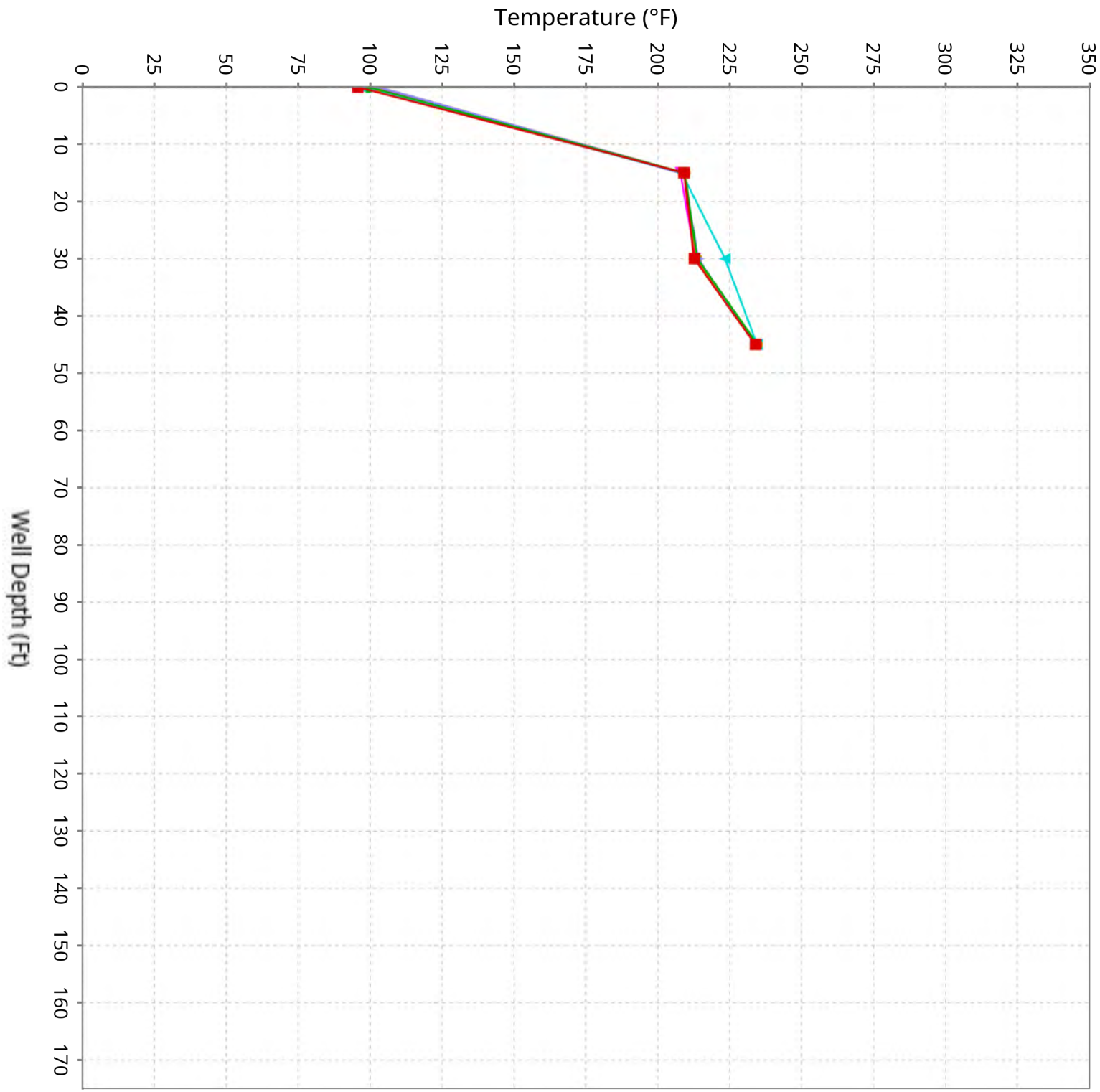
Maximum data for 9/25/2025 to 11/5/2025



■ 9/25/25-10/2/25 ■ 10/2/25-10/9/25 ■ 10/9/25-10/16/25 ■ 10/16/25-10/23/25 ■ 10/23/25-10/30/25 ■ 10/31/25-11/5/25

Vertical Temperature Profiles from Temperature Probes at Chiquita Landfill for TP-3

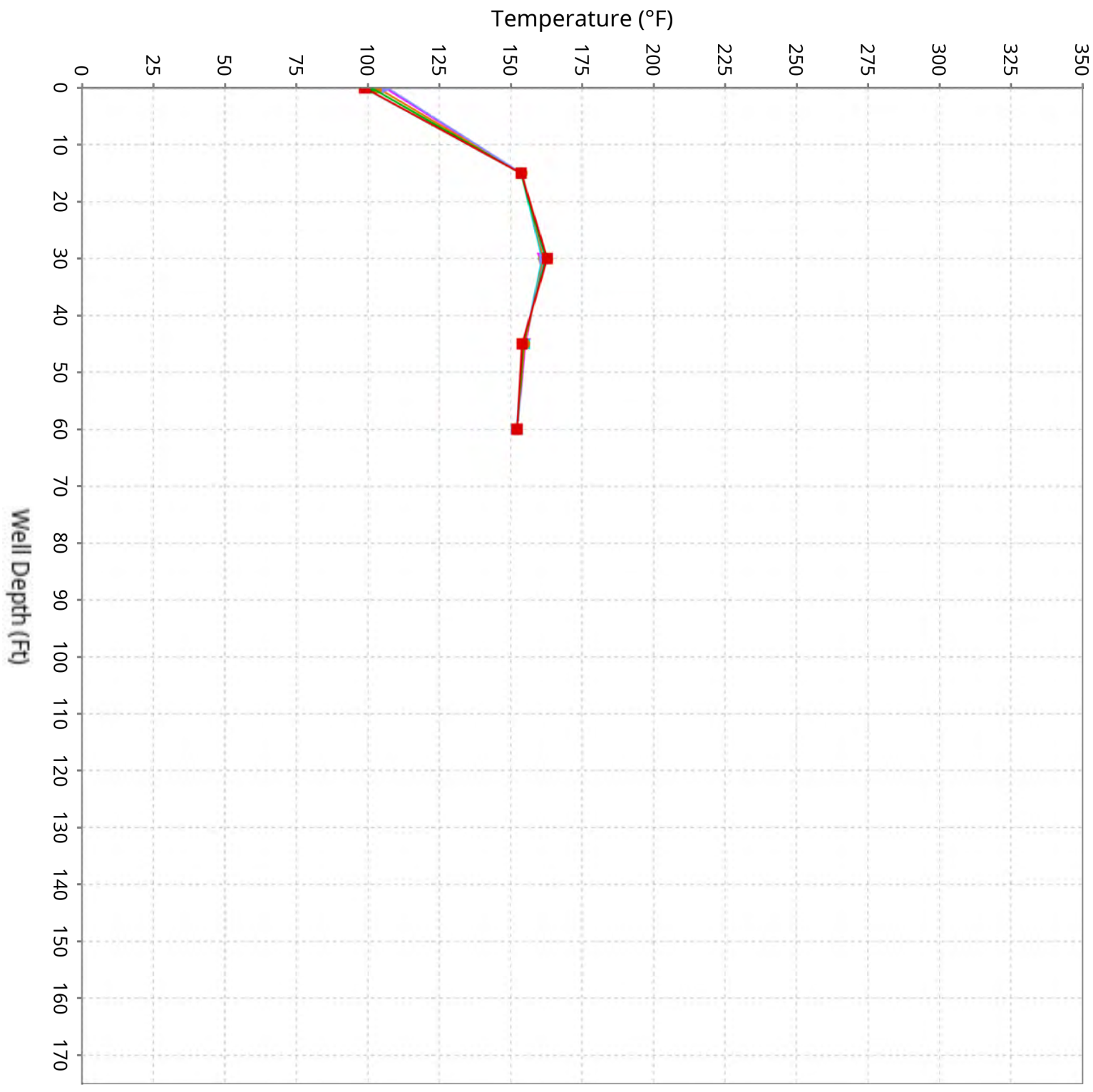
Maximum data for 9/25/2025 to 11/5/2025



■ 9/25/25-10/2/25 ■ 10/2/25-10/9/25 ■ 10/9/25-10/16/25 ■ 10/16/25-10/23/25 ■ 10/23/25-10/30/25 ■ 10/31/25-11/5/25

Vertical Temperature Profiles from Temperature Probes at Chiquita Landfill for TP-4

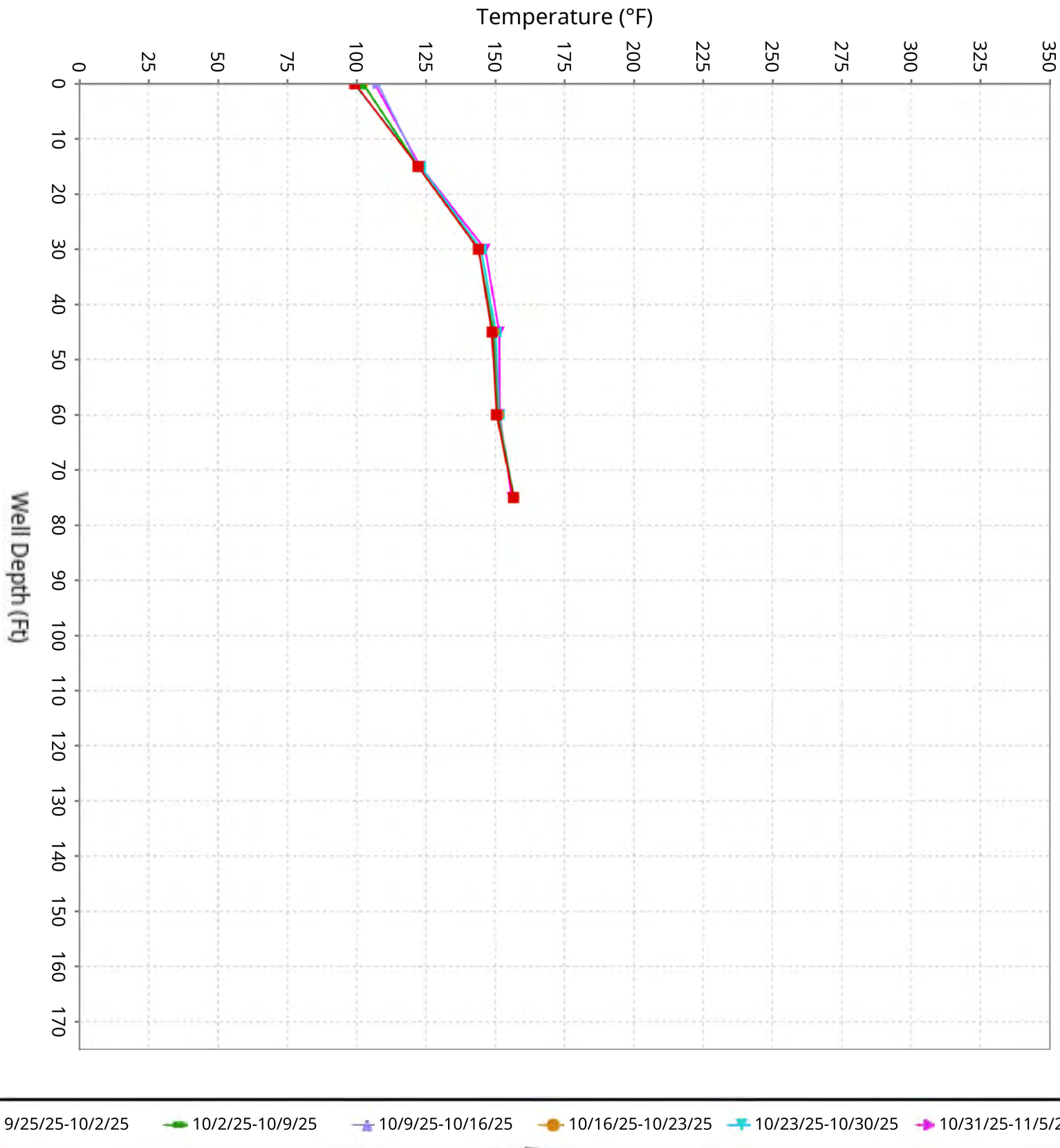
Maximum data for 9/25/2025 to 11/5/2025



■ 9/25/25-10/2/25 ■ 10/2/25-10/9/25 ■ 10/9/25-10/16/25 ■ 10/16/25-10/23/25 ■ 10/23/25-10/30/25 ■ 10/31/25-11/5/25

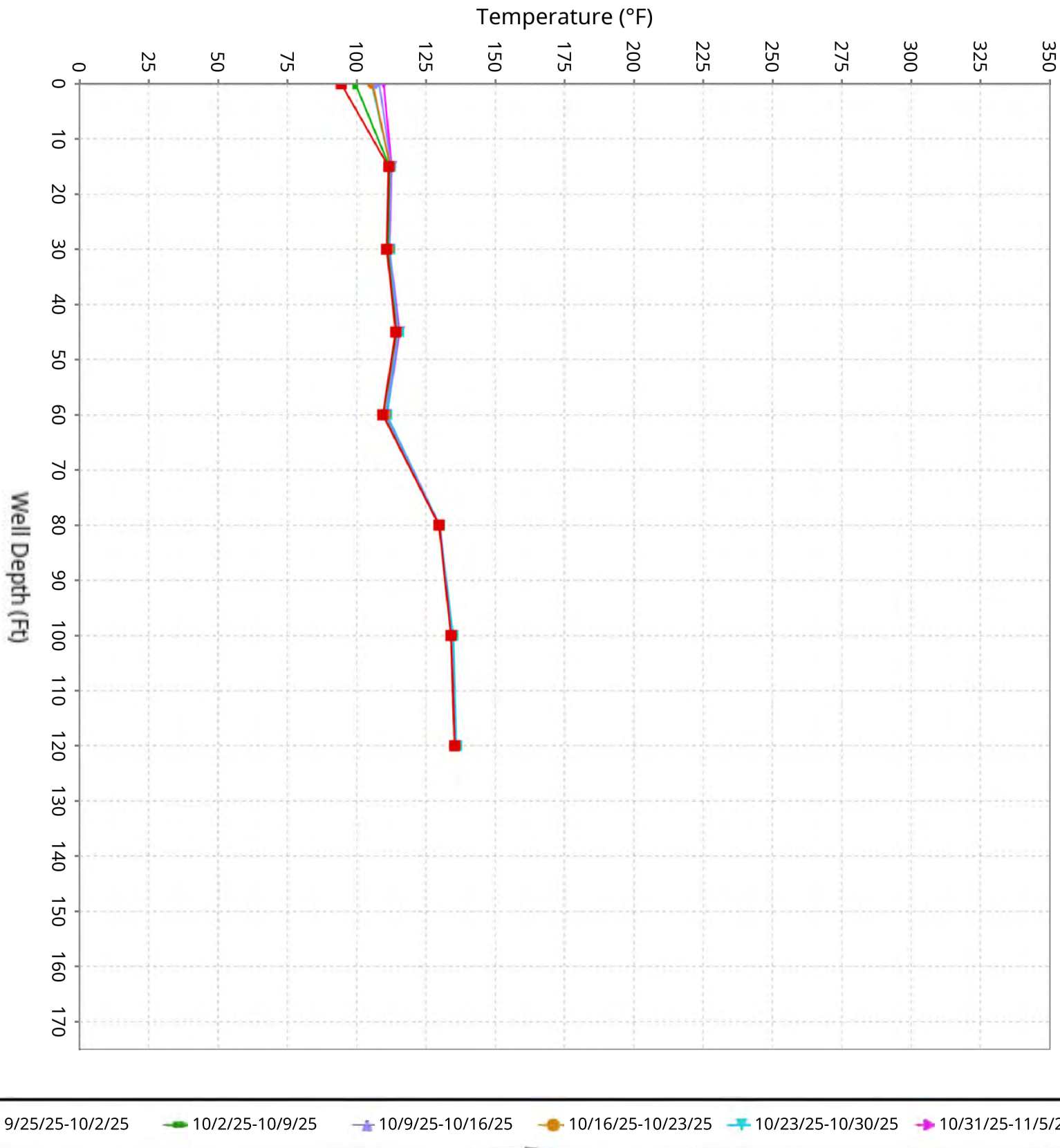
Vertical Temperature Profiles from Temperature Probes at Chiquita Landfill for TP-5

Maximum data for 9/25/2025 to 11/5/2025



Vertical Temperature Profiles from Temperature Probes at Chiquita Landfill for TP-6

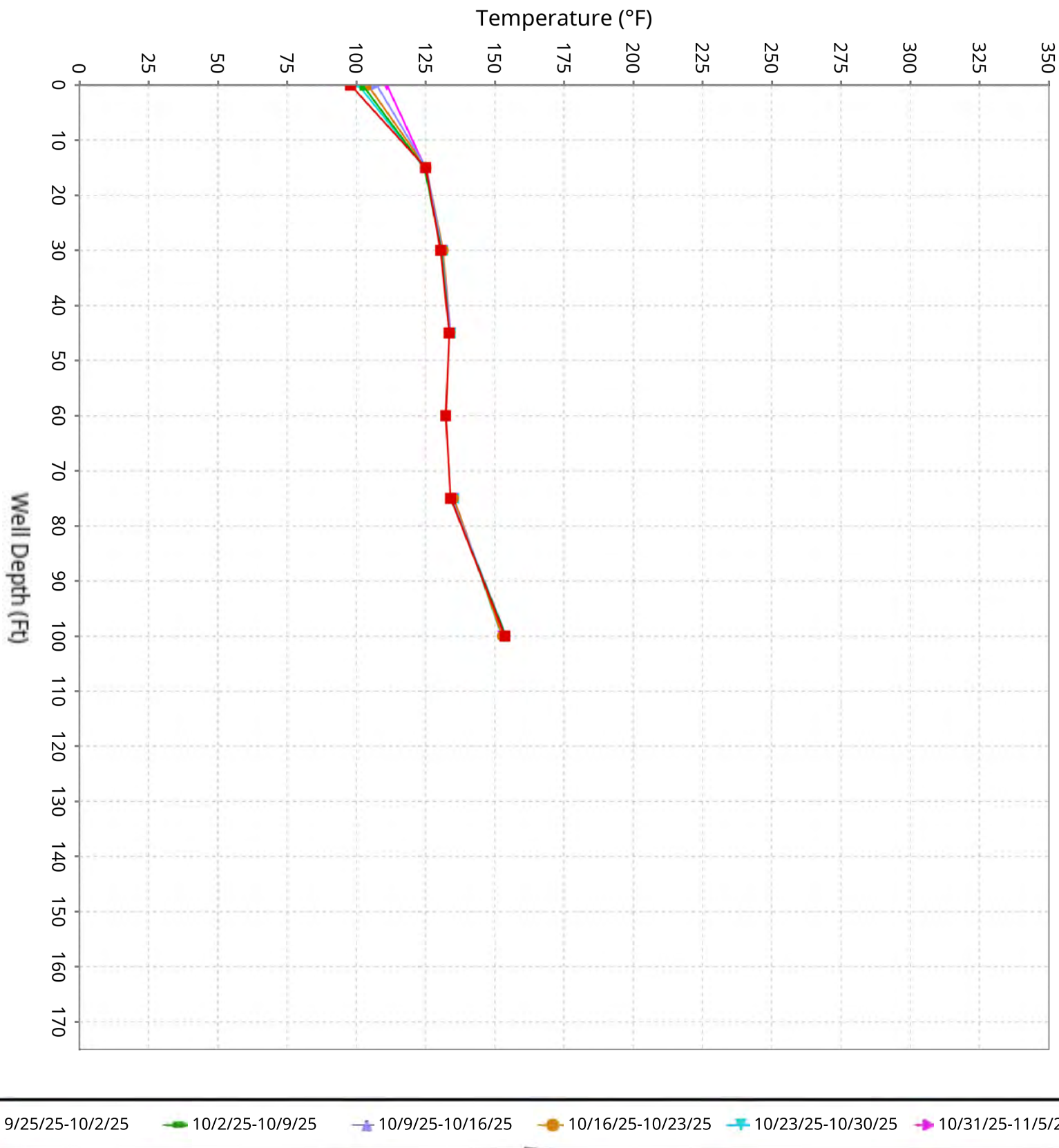
Maximum data for 9/25/2025 to 11/5/2025



■ 9/25/25-10/2/25 ■ 10/2/25-10/9/25 ■ 10/9/25-10/16/25 ■ 10/16/25-10/23/25 ■ 10/23/25-10/30/25 ■ 10/31/25-11/5/25

Vertical Temperature Profiles from Temperature Probes at Chiquita Landfill for TP-7

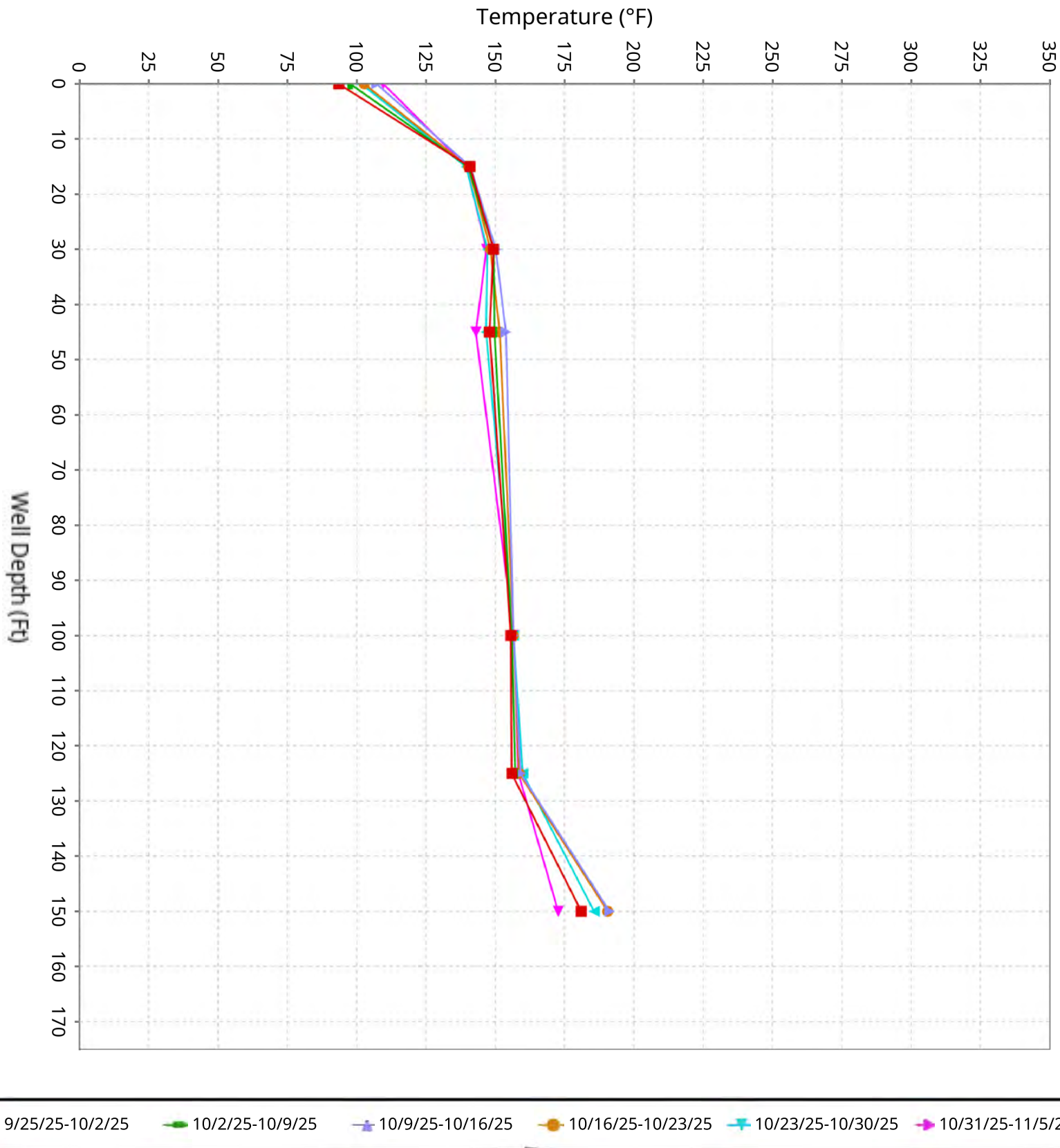
Maximum data for 9/25/2025 to 11/5/2025



■ 9/25/25-10/2/25 ■ 10/2/25-10/9/25 ■ 10/9/25-10/16/25 ■ 10/16/25-10/23/25 ■ 10/23/25-10/30/25 ■ 10/31/25-11/5/25

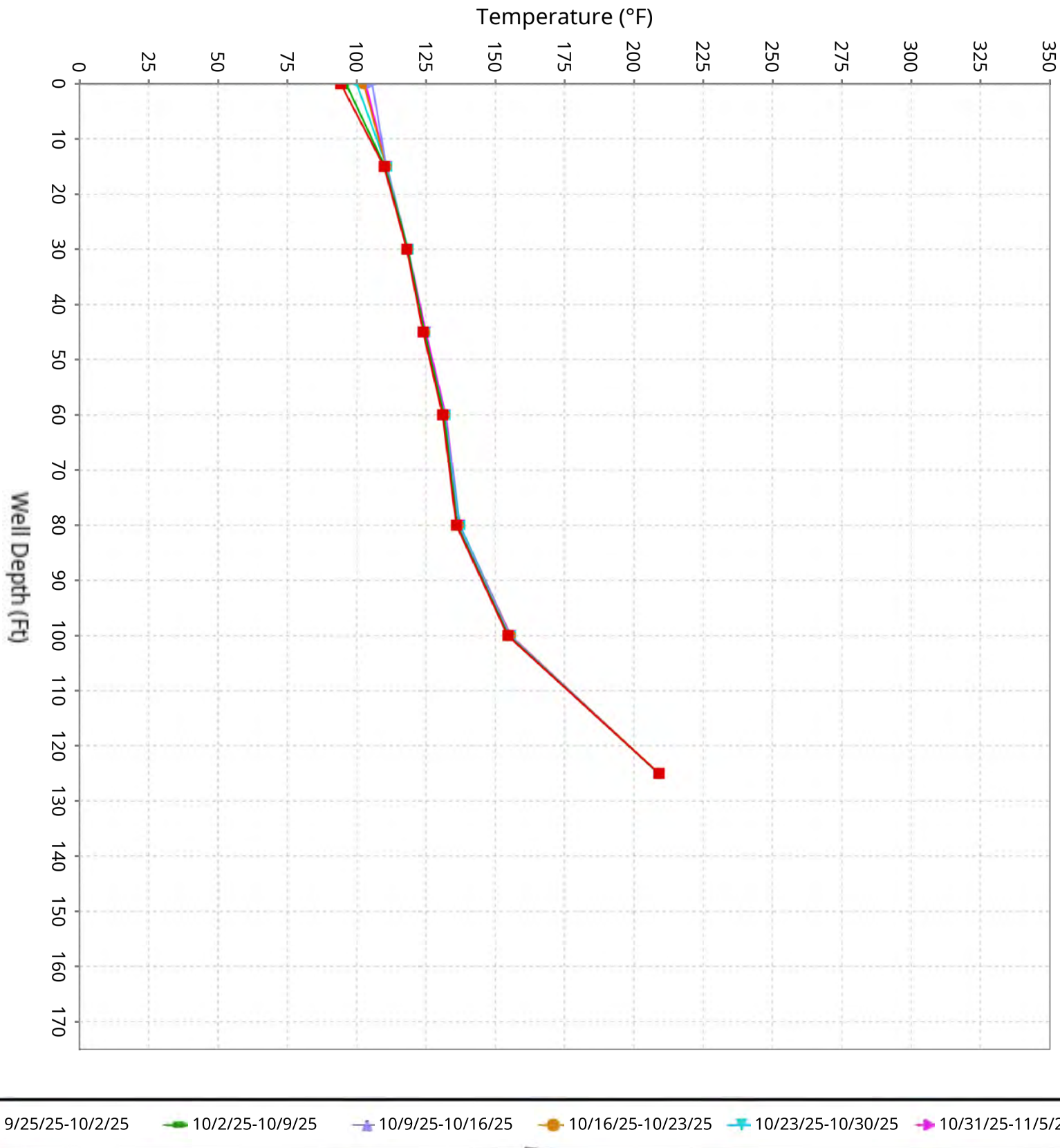
Vertical Temperature Profiles from Temperature Probes at Chiquita Landfill for TP-8

Maximum data for 9/25/2025 to 11/5/2025



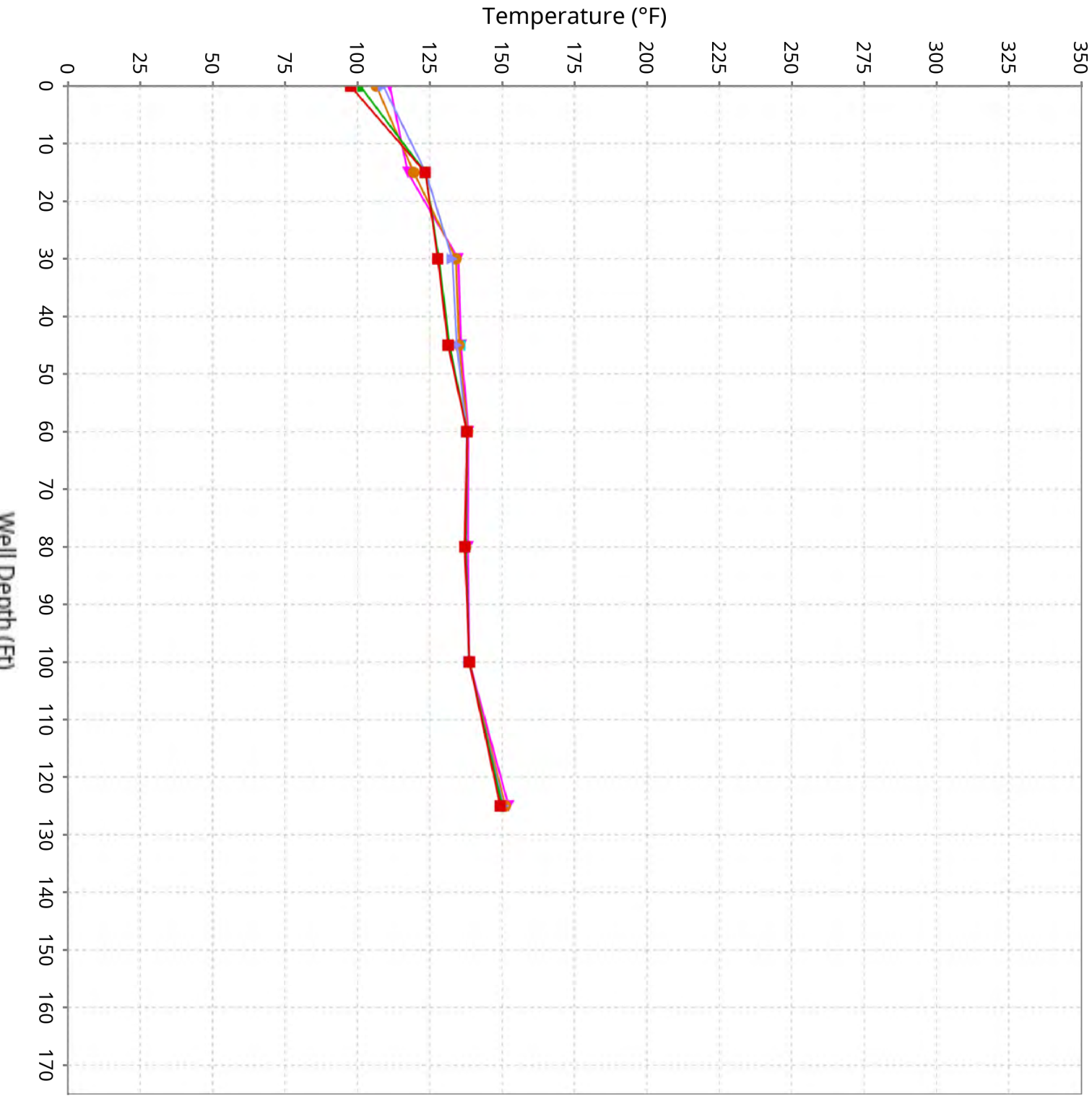
Vertical Temperature Profiles from Temperature Probes at Chiquita Landfill for TP-9

Maximum data for 9/25/2025 to 11/5/2025



Vertical Temperature Profiles from Temperature Probes at Chiquita Landfill for TP-10

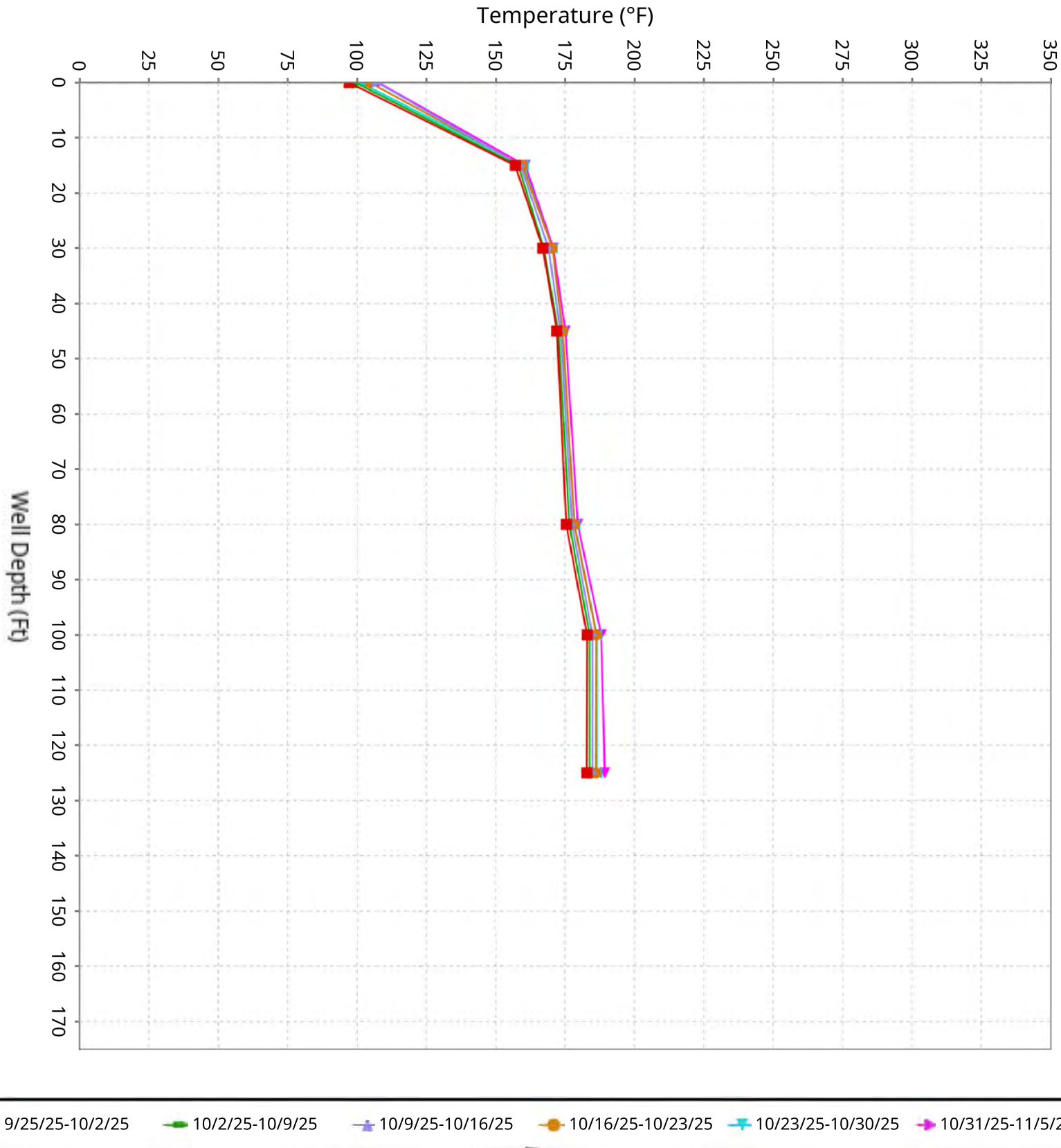
Maximum data for 9/25/2025 to 11/5/2025



■ 9/25/25-10/2/25 ■ 10/2/25-10/9/25 ■ 10/9/25-10/16/25 ■ 10/16/25-10/23/25 ■ 10/23/25-10/30/25 ■ 10/31/25-11/5/25

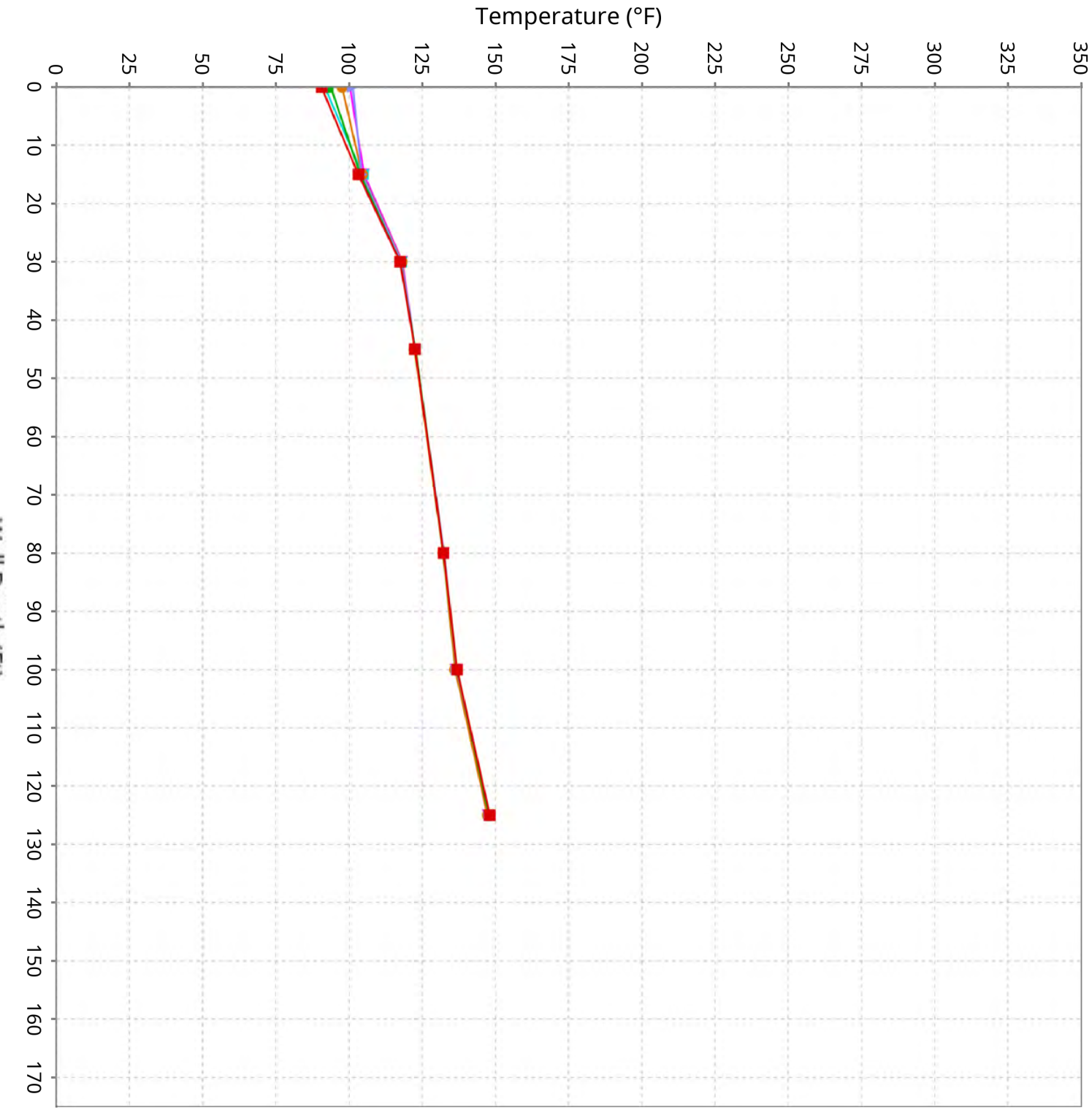
Vertical Temperature Profiles from Temperature Probes at Chiquita Landfill for TP-11

Maximum data for 9/25/2025 to 11/5/2025



Vertical Temperature Profiles from Temperature Probes at Chiquita Landfill for TP-12

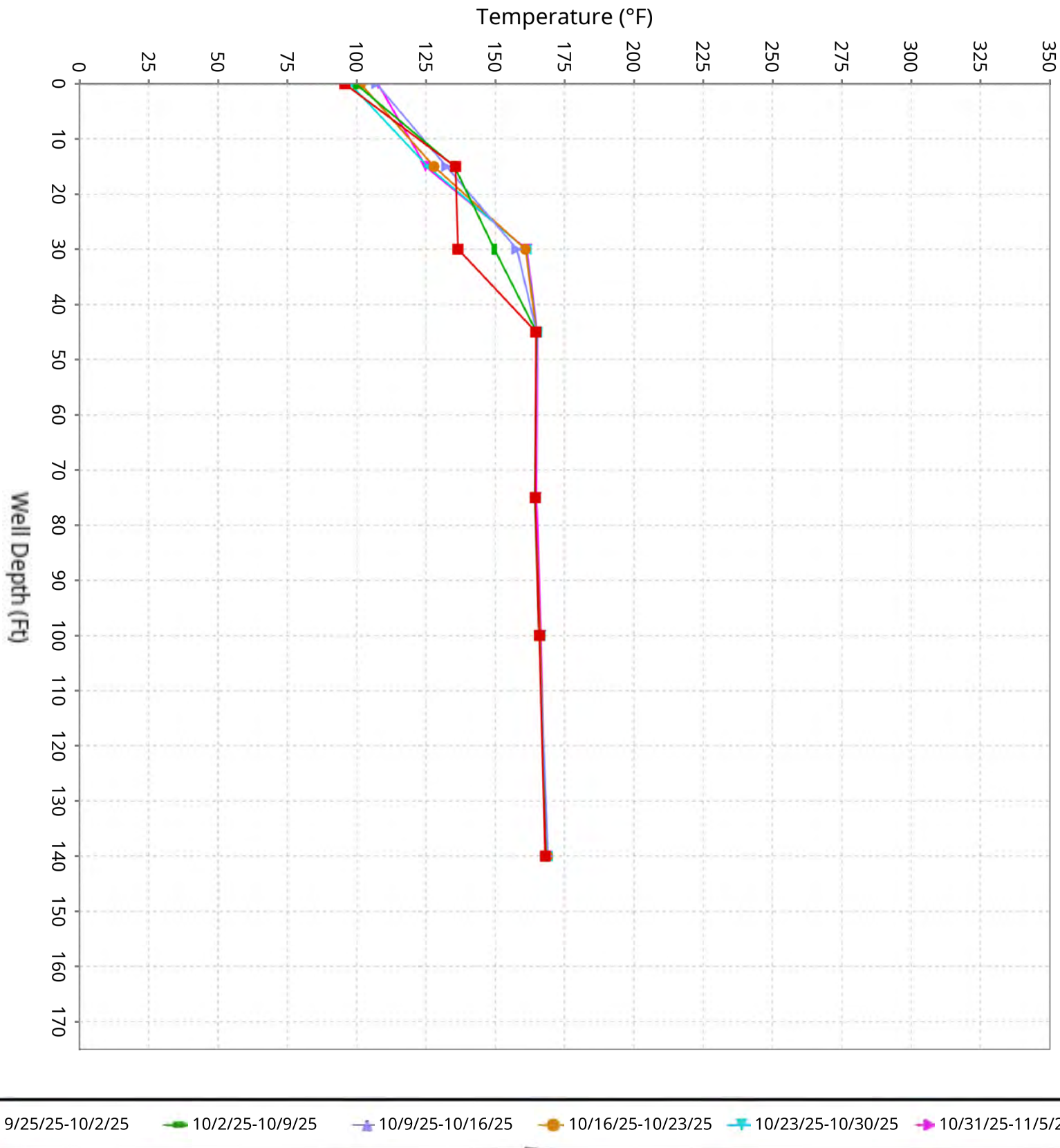
Maximum data for 9/25/2025 to 11/5/2025



■ 9/25/25-10/2/25 ■ 10/2/25-10/9/25 ■ 10/9/25-10/16/25 ■ 10/16/25-10/23/25 ■ 10/23/25-10/30/25 ■ 10/31/25-11/5/25

Vertical Temperature Profiles from Temperature Probes at Chiquita Landfill for TP-13

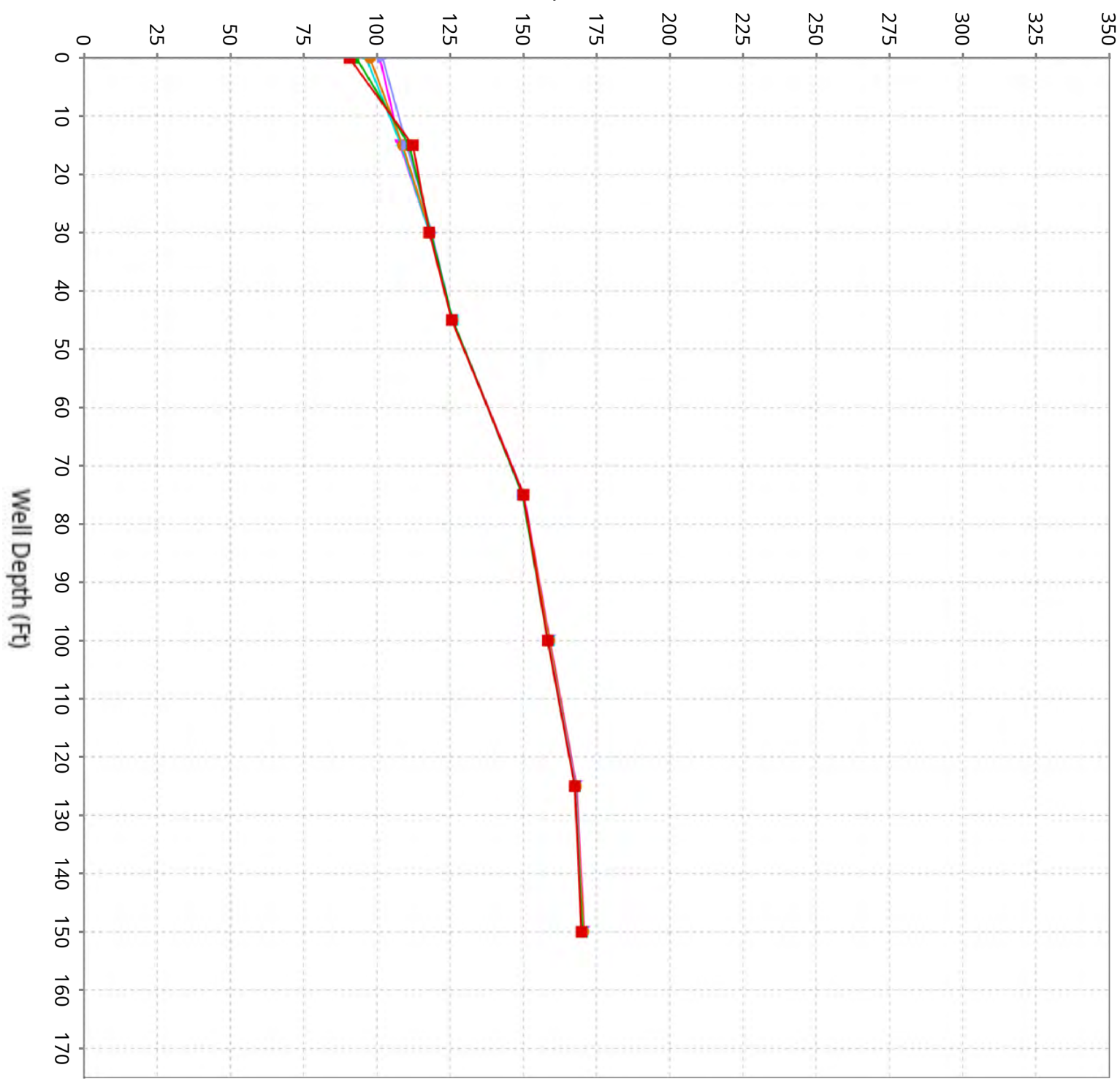
Maximum data for 9/25/2025 to 11/5/2025



Vertical Temperature Profiles from Temperature Probes at Chiquita Landfill for TP-14

Maximum data for 9/25/2025 to 11/5/2025

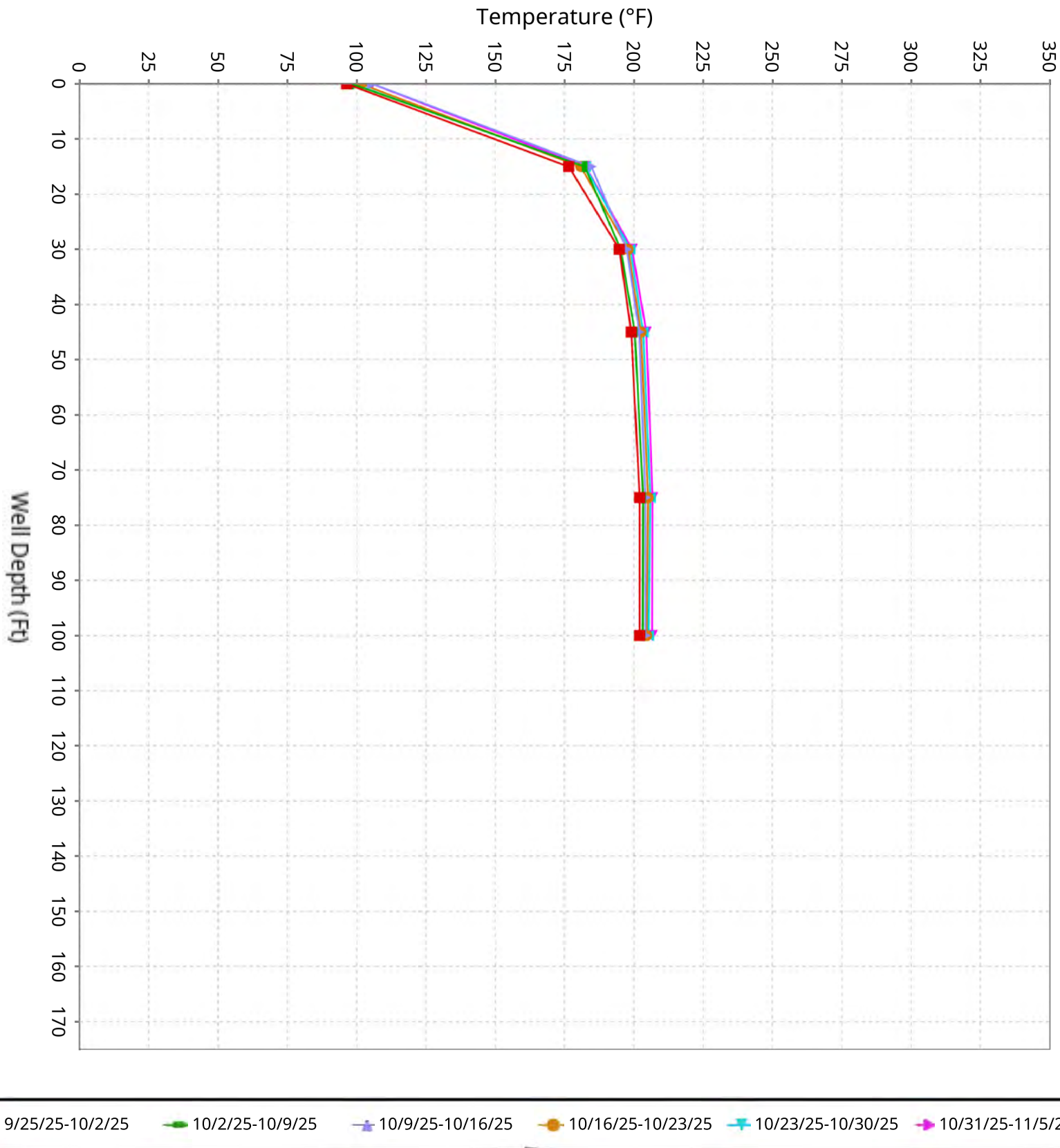
Temperature (°F)



■ 9/25/25-10/2/25 ■ 10/2/25-10/9/25 ■ 10/9/25-10/16/25 ■ 10/16/25-10/23/25 ■ 10/23/25-10/30/25 ■ 10/31/25-11/5/25

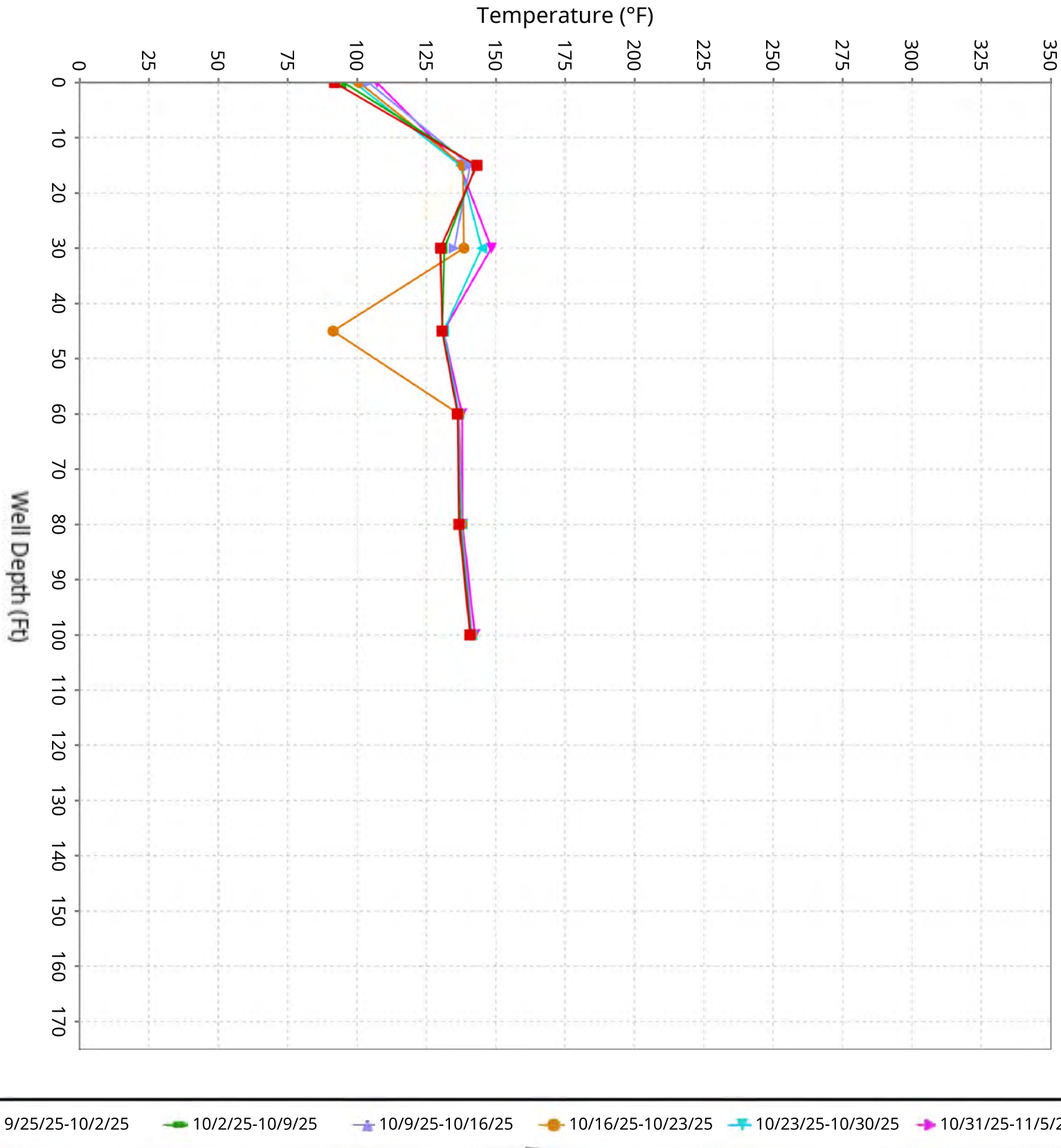
Vertical Temperature Profiles from Temperature Probes at Chiquita Landfill for TP-15

Maximum data for 9/25/2025 to 11/5/2025



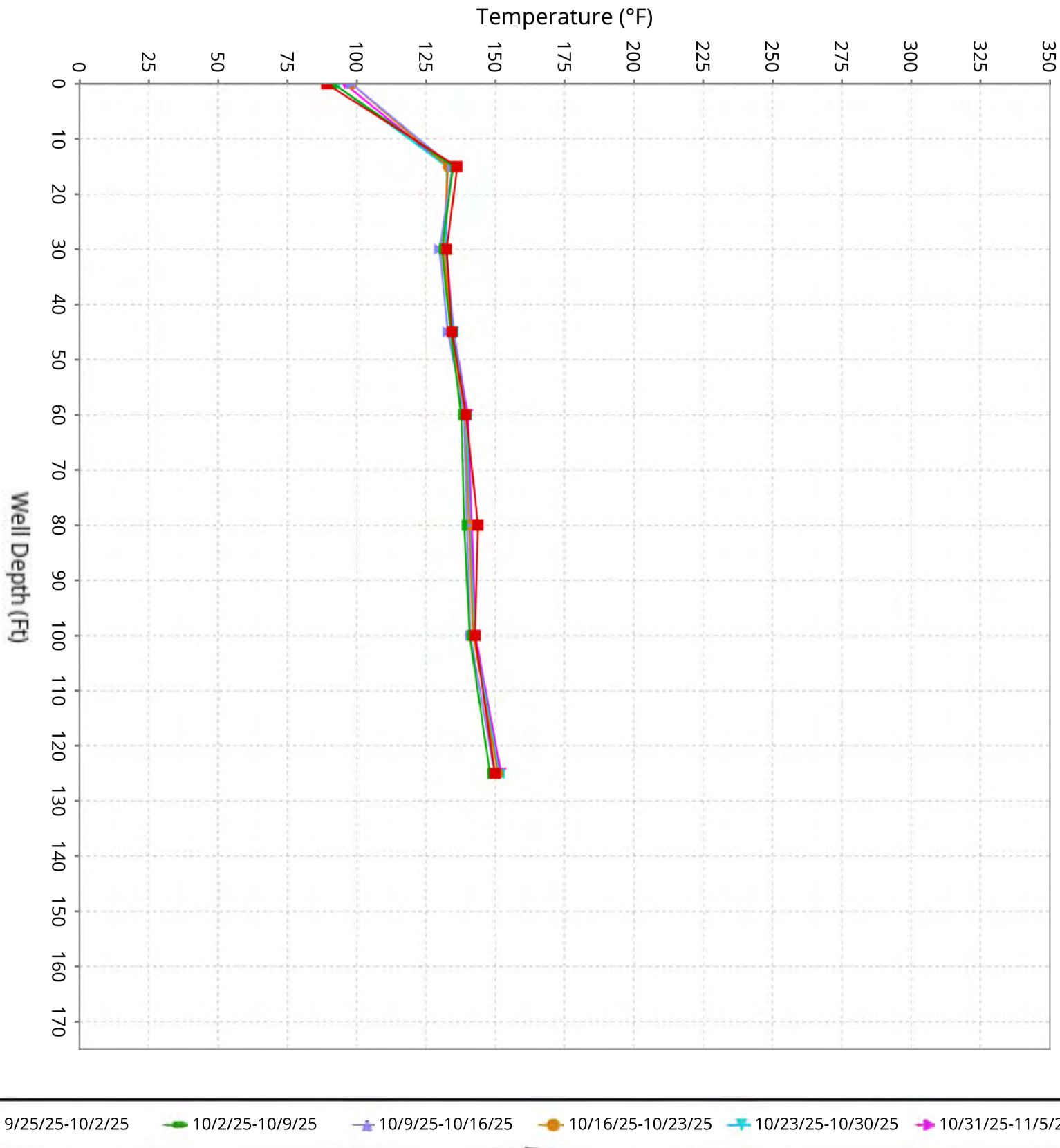
Vertical Temperature Profiles from Temperature Probes at Chiquita Landfill for TP-16

Maximum data for 9/25/2025 to 11/5/2025



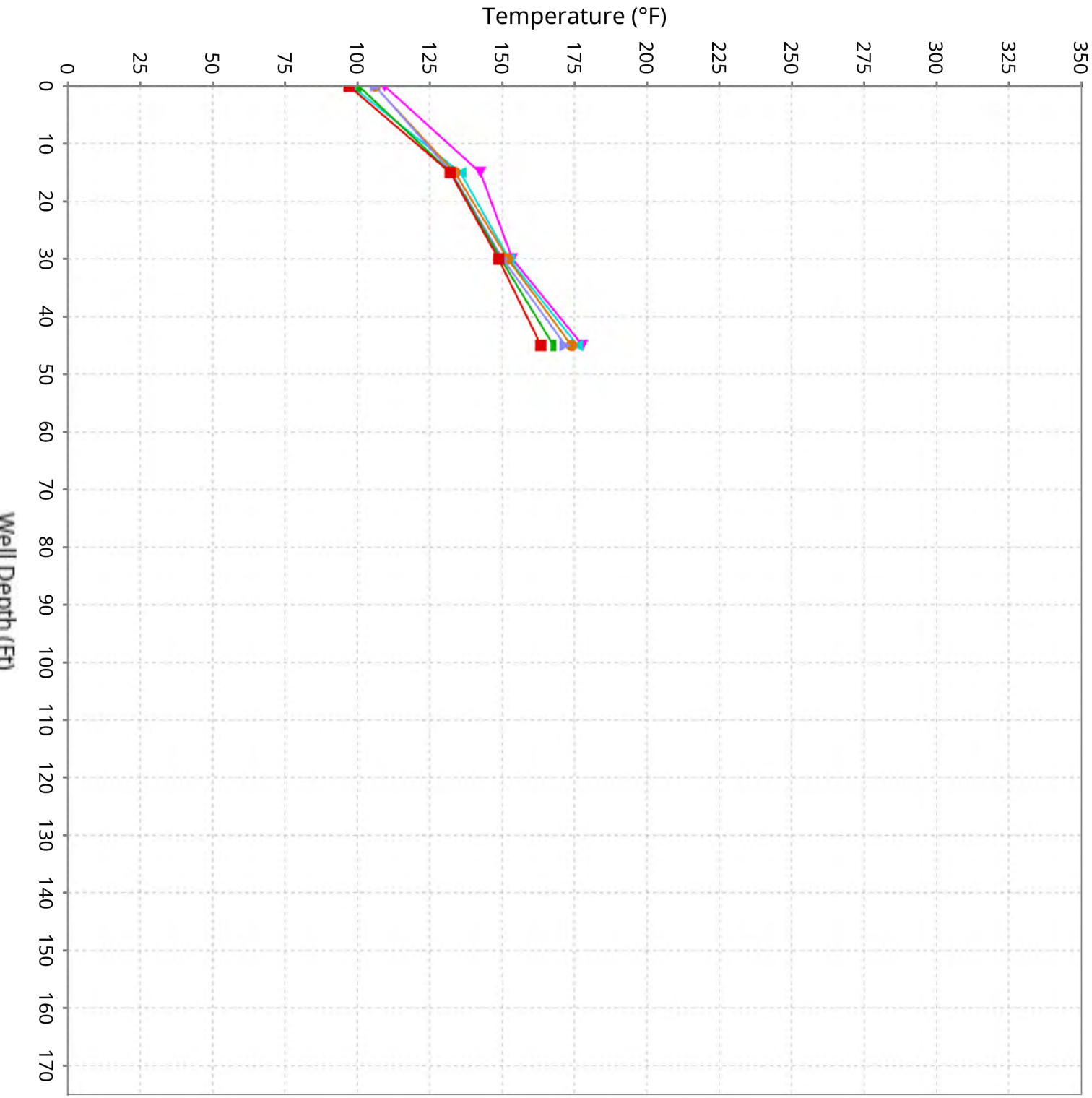
Vertical Temperature Profiles from Temperature Probes at Chiquita Landfill for TP-17

Maximum data for 9/25/2025 to 11/5/2025



Vertical Temperature Profiles from Temperature Probes at Chiquita Landfill for TP-18

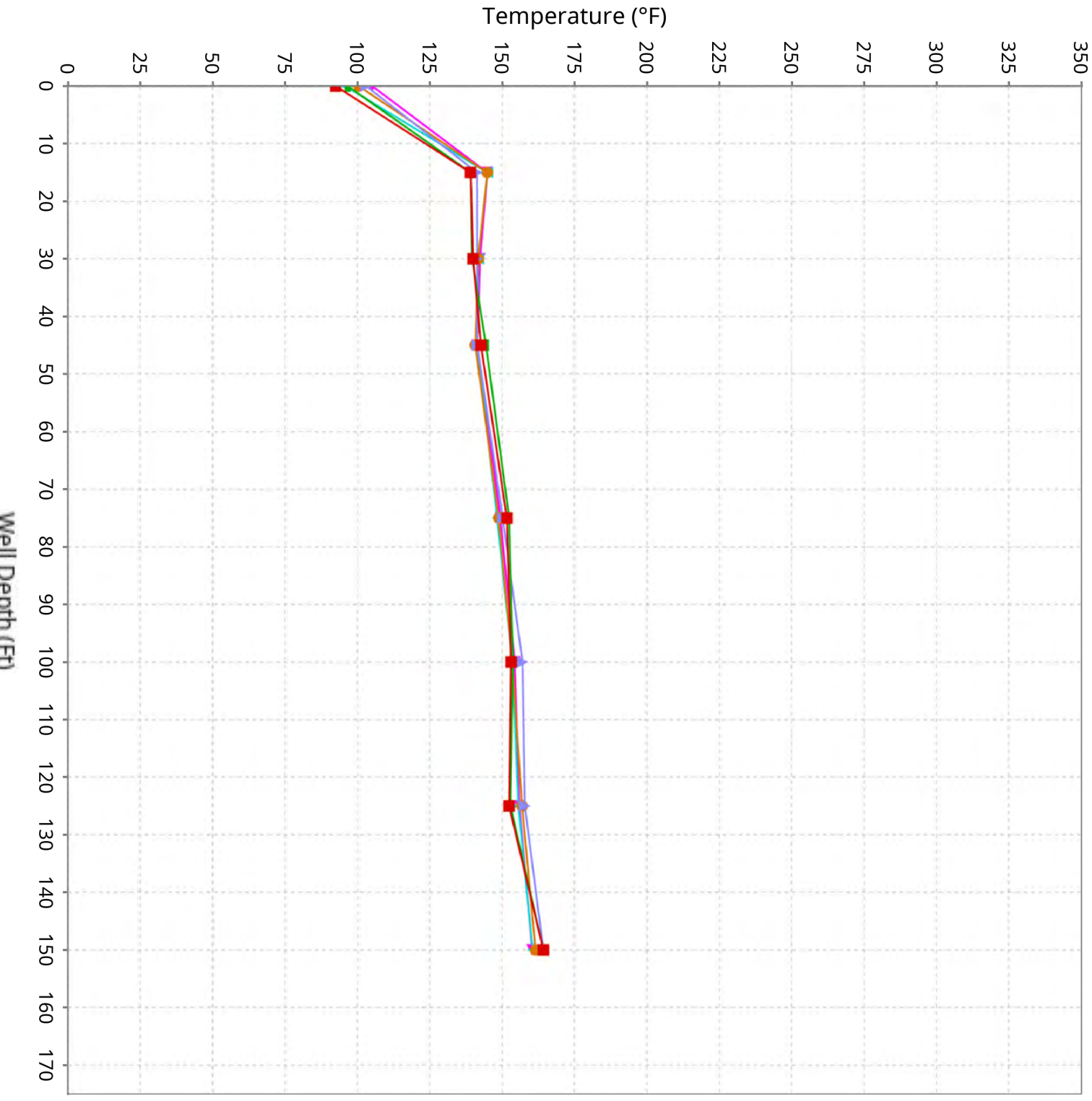
Maximum data for 9/25/2025 to 11/5/2025



■ 9/25/25-10/2/25 ■ 10/2/25-10/9/25 ■ 10/9/25-10/16/25 ■ 10/16/25-10/23/25 ■ 10/23/25-10/30/25 ■ 10/31/25-11/5/25

Vertical Temperature Profiles from Temperature Probes at Chiquita Landfill for TP-19

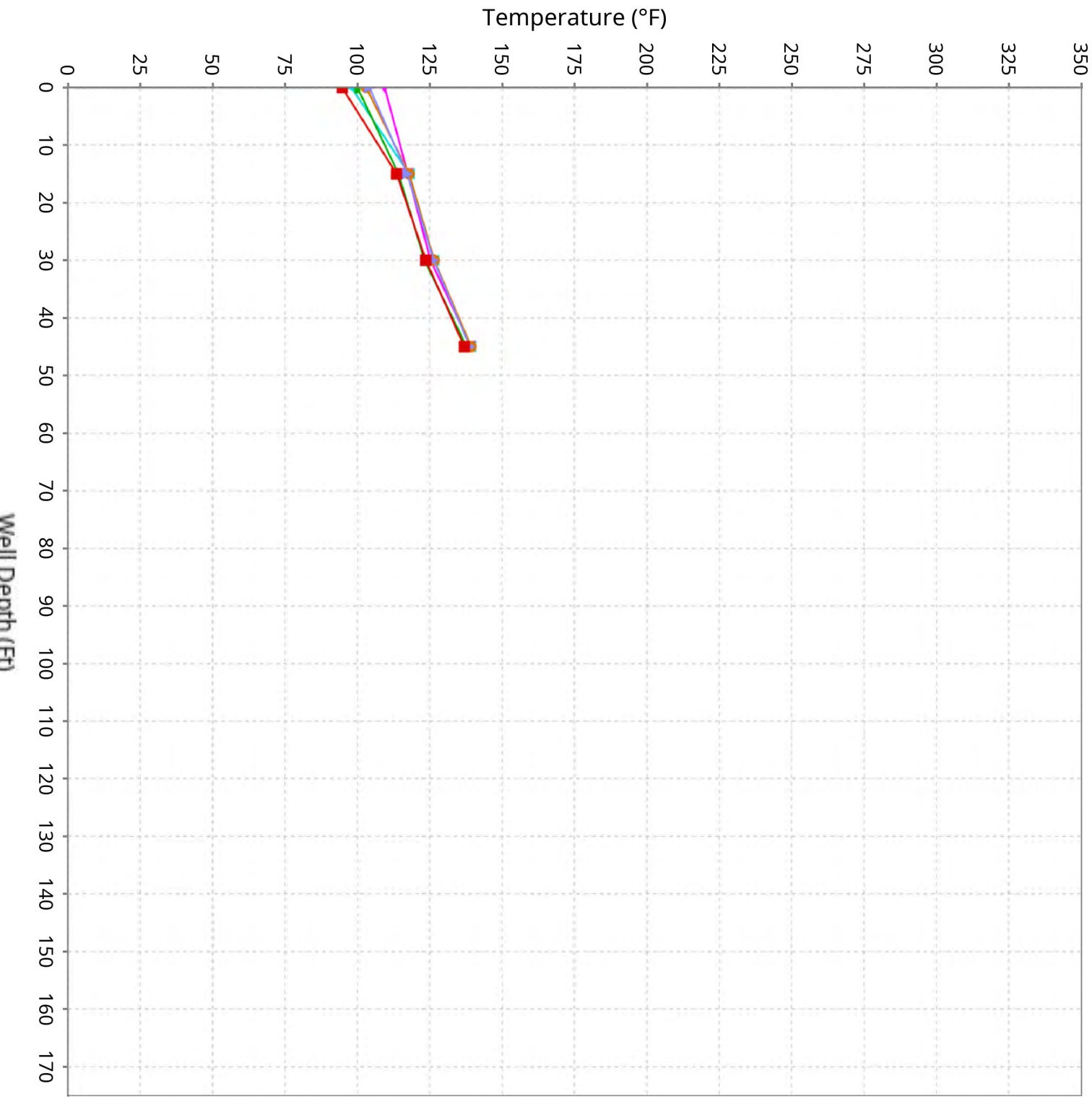
Maximum data for 9/25/2025 to 11/5/2025



■ 9/25/25-10/2/25 ■ 10/2/25-10/9/25 ■ 10/9/25-10/16/25 ■ 10/16/25-10/23/25 ■ 10/23/25-10/30/25 ■ 10/31/25-11/5/25

Vertical Temperature Profiles from Temperature Probes at Chiquita Landfill for TP-20

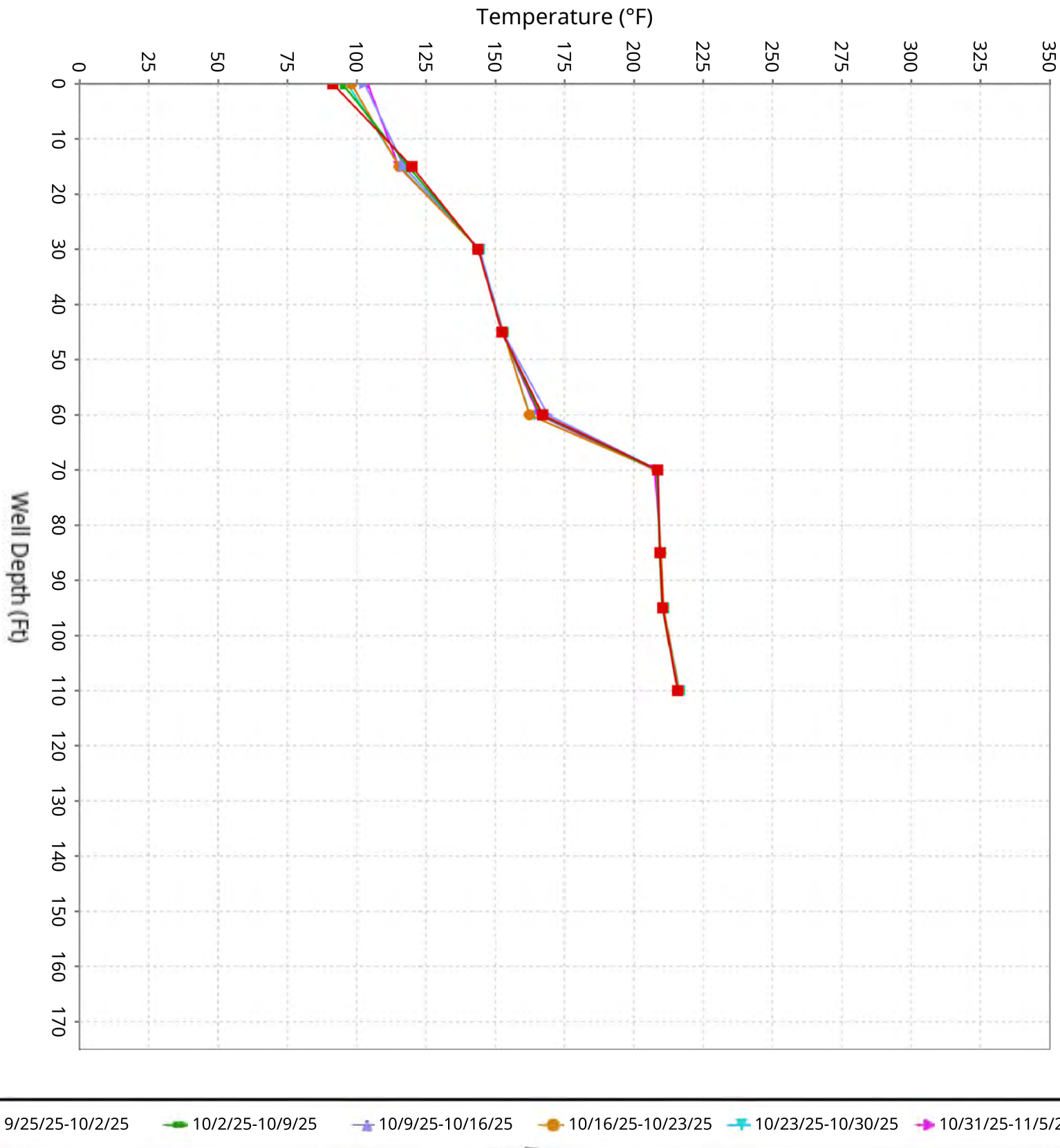
Maximum data for 9/25/2025 to 11/5/2025



■ 9/25/25-10/2/25 ■ 10/2/25-10/9/25 ■ 10/9/25-10/16/25 ■ 10/16/25-10/23/25 ■ 10/23/25-10/30/25 ■ 10/31/25-11/5/25

Vertical Temperature Profiles from Temperature Probes at Chiquita Landfill for TP-21

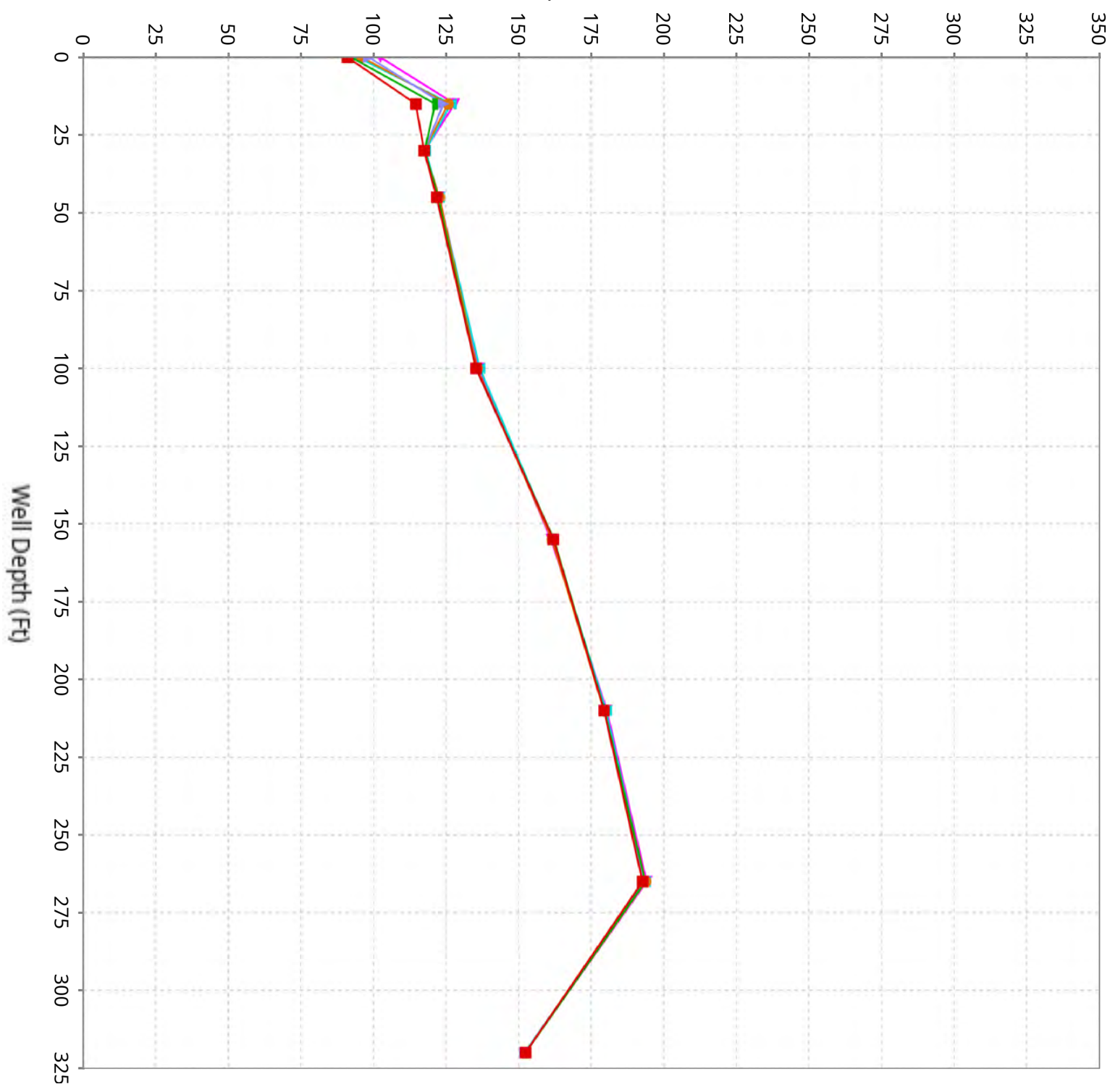
Maximum data for 9/25/2025 to 11/5/2025



Vertical Temperature Profiles from Temperature Probes at Chiquita Landfill for TP-24

Maximum data for 9/25/2025 to 11/5/2025

Temperature (°F)

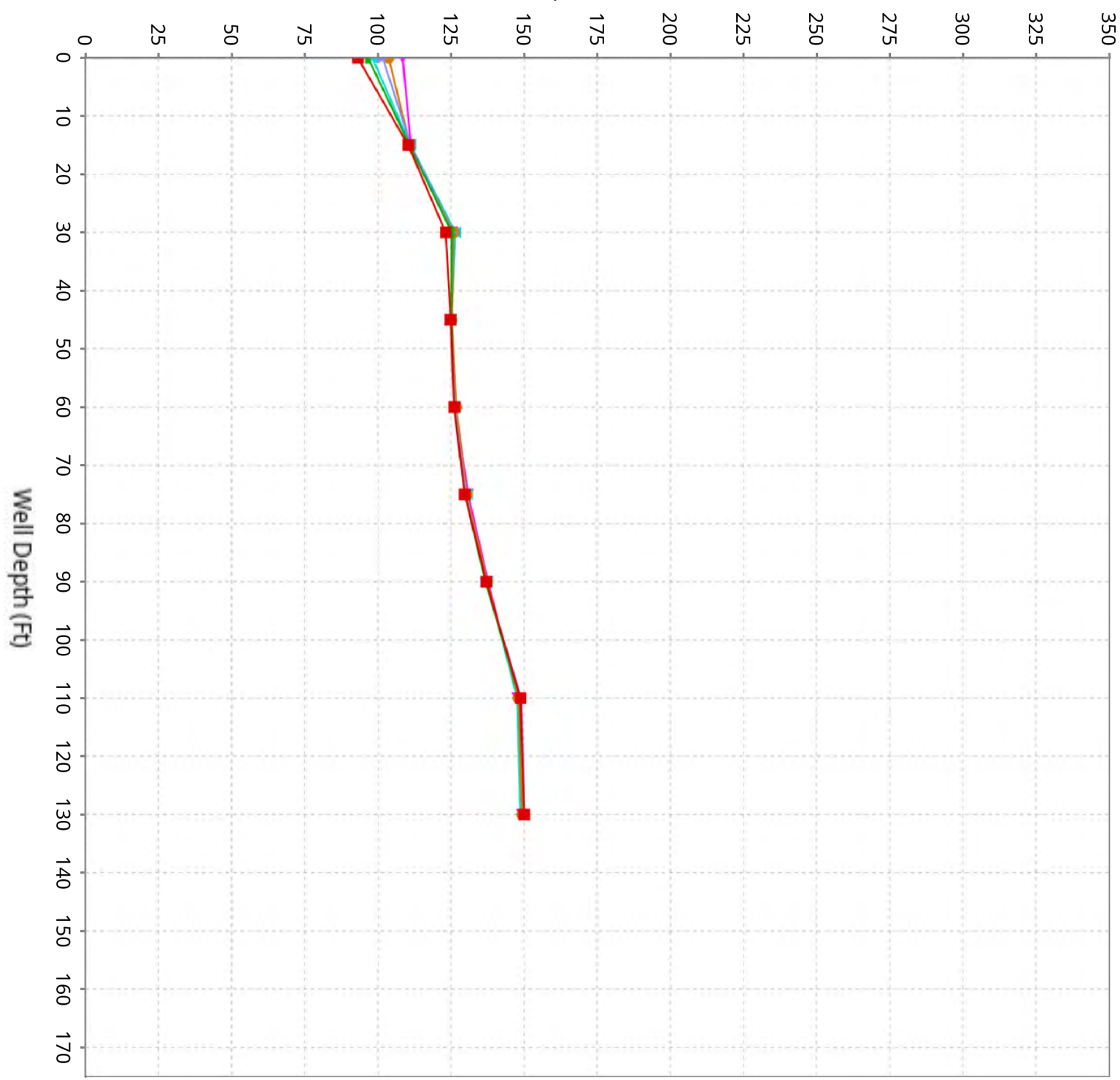


■ 9/25/25-10/2/25 ■ 10/2/25-10/9/25 ■ 10/9/25-10/16/25 ■ 10/16/25-10/23/25 ■ 10/23/25-10/30/25 ■ 10/31/25-11/5/25

Vertical Temperature Profiles from Temperature Probes at Chiquita Landfill for TP-25

Maximum data for 9/25/2025 to 11/5/2025

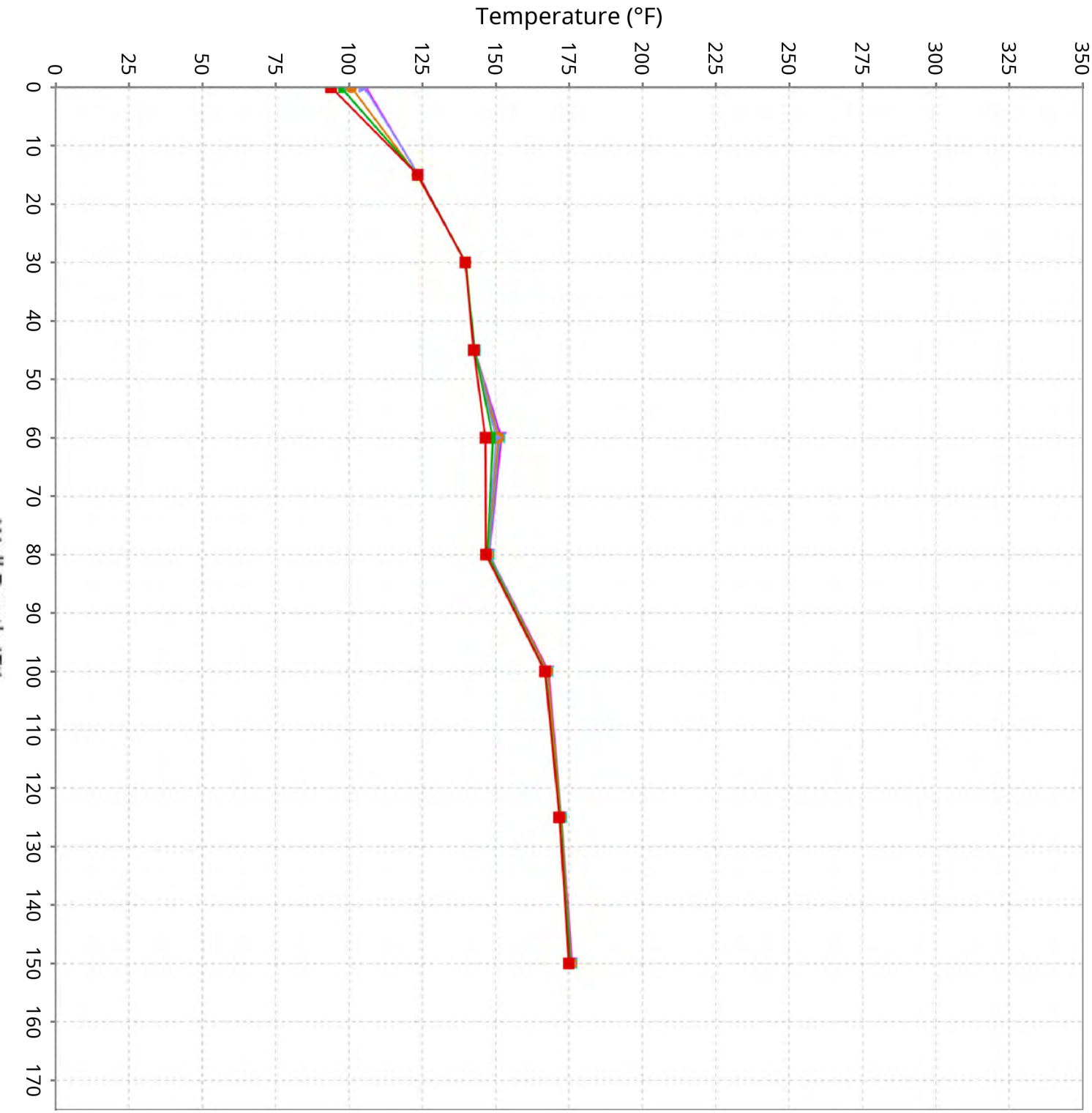
Temperature (°F)



■ 9/25/25-10/2/25 ■ 10/2/25-10/9/25 ■ 10/9/25-10/16/25 ■ 10/16/25-10/23/25 ■ 10/23/25-10/30/25 ■ 10/31/25-11/5/25

Vertical Temperature Profiles from Temperature Probes at Chiquita Landfill for TP-26

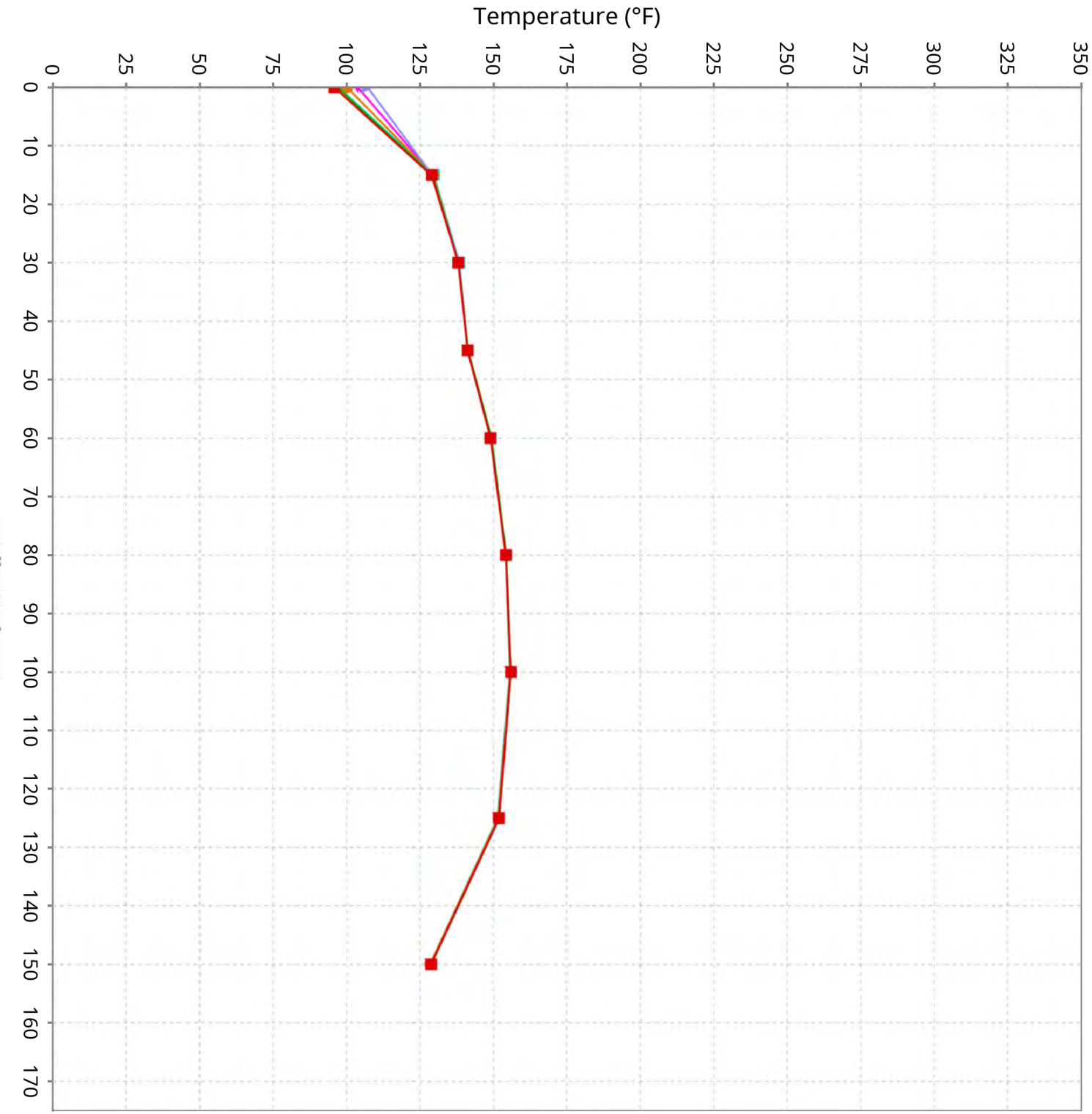
Maximum data for 9/25/2025 to 11/5/2025



■ 9/25/25-10/2/25 ■ 10/2/25-10/9/25 ■ 10/9/25-10/16/25 ■ 10/16/25-10/23/25 ■ 10/23/25-10/30/25 ■ 10/31/25-11/5/25

Vertical Temperature Profiles from Temperature Probes at Chiquita Landfill for TP-27

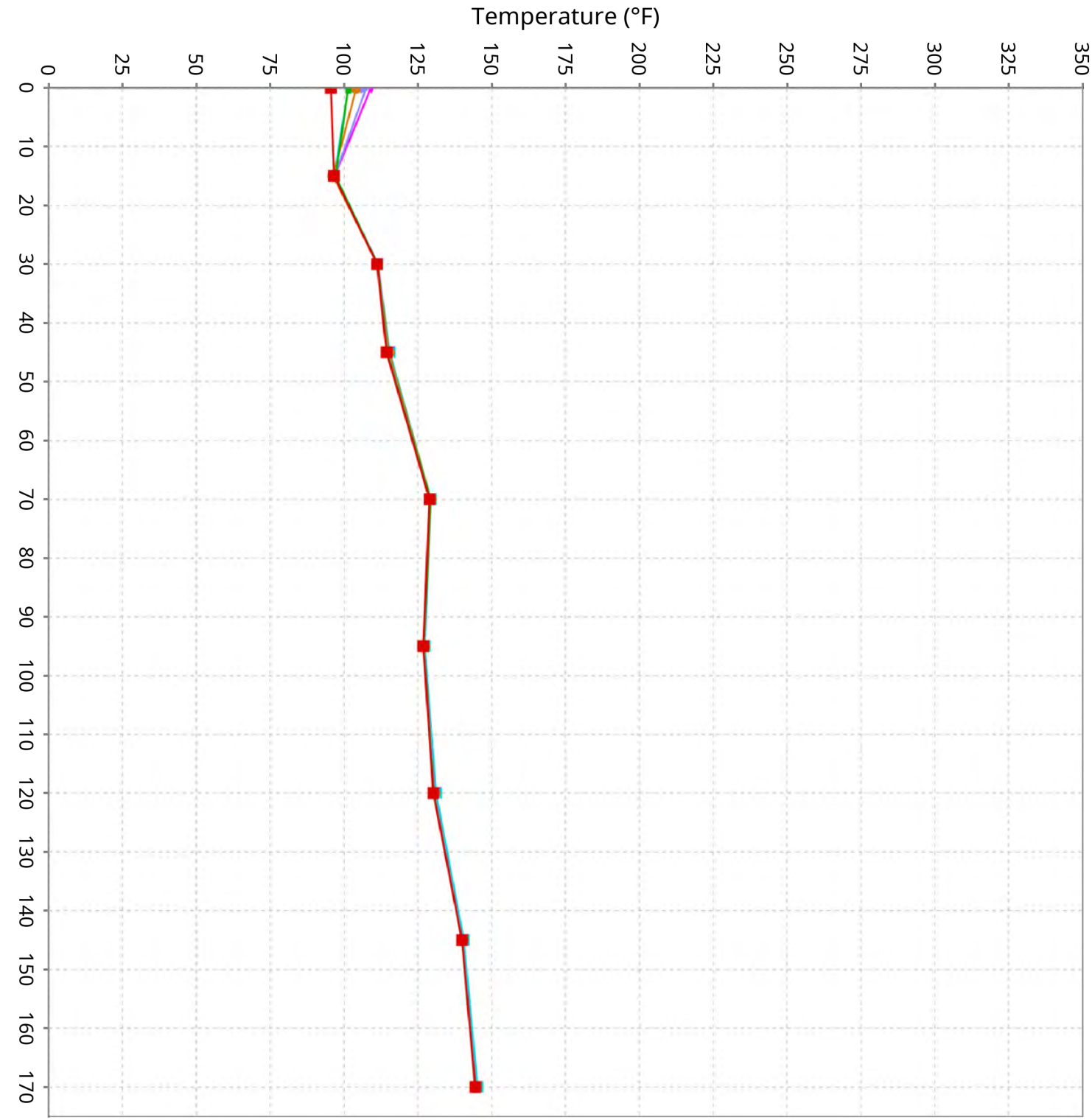
Maximum data for 9/25/2025 to 11/5/2025



■ 9/25/25-10/2/25 ■ 10/2/25-10/9/25 ■ 10/9/25-10/16/25 ■ 10/16/25-10/23/25 ■ 10/23/25-10/30/25 ■ 10/31/25-11/5/25

Vertical Temperature Profiles from Temperature Probes at Chiquita Landfill for TP-28

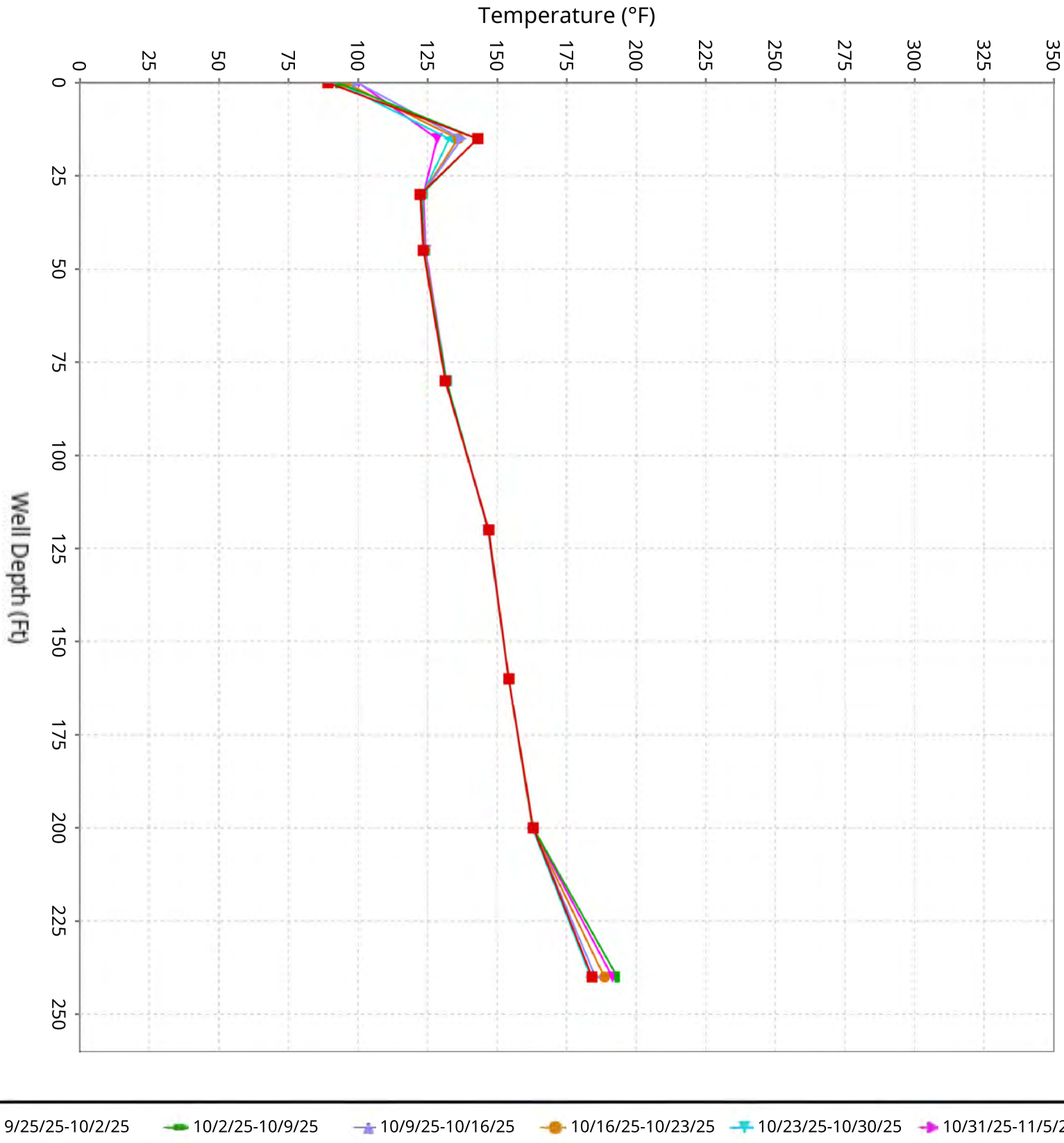
Maximum data for 9/25/2025 to 11/5/2025



■ 9/25/25-10/2/25 ■ 10/2/25-10/9/25 ■ 10/9/25-10/16/25 ■ 10/16/25-10/23/25 ■ 10/23/25-10/30/25 ■ 10/31/25-11/5/25

Vertical Temperature Profiles from Temperature Probes at Chiquita Landfill for TP-29

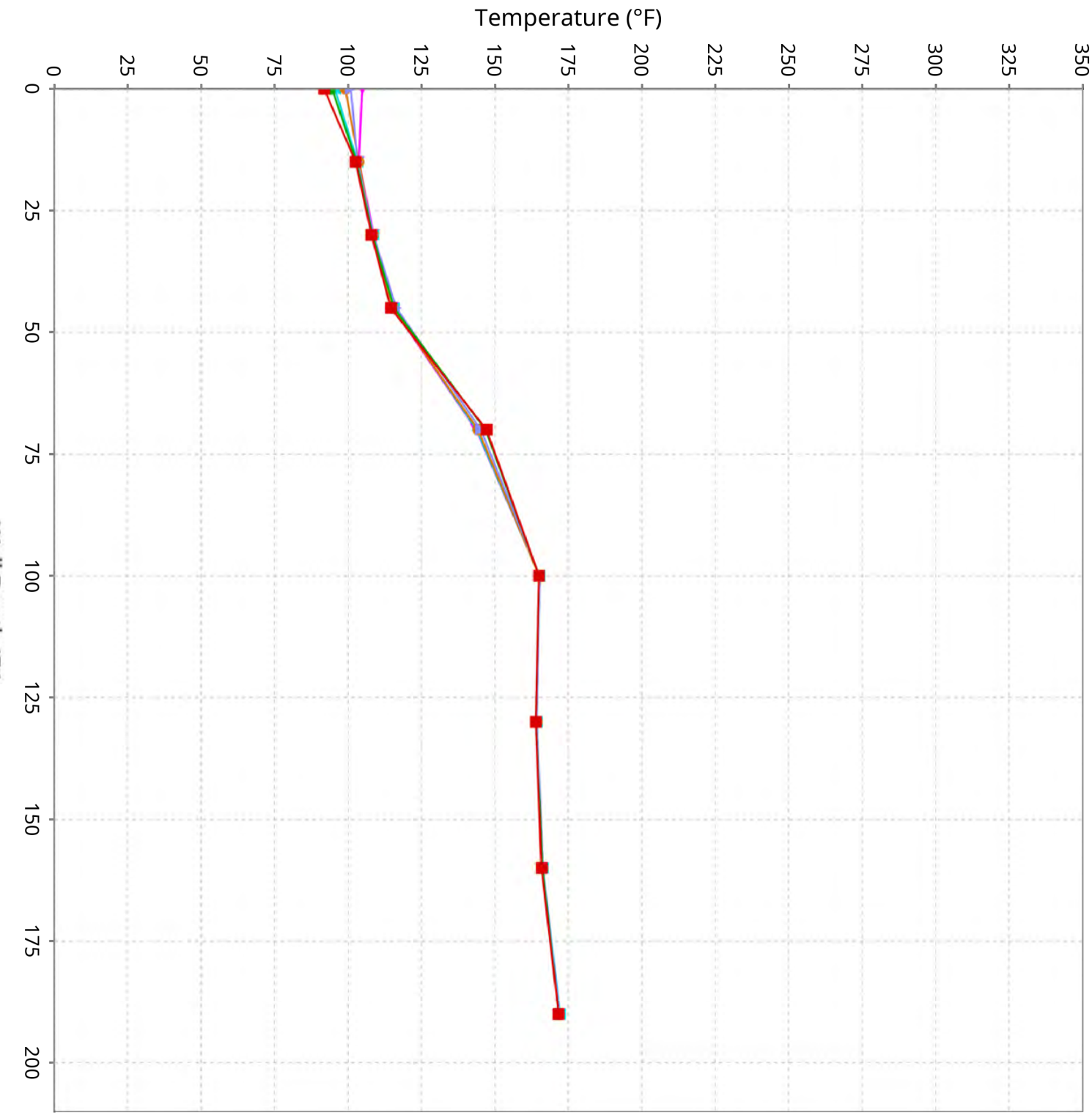
Maximum data for 9/25/2025 to 11/5/2025



■ 9/25/25-10/2/25 ■ 10/2/25-10/9/25 ■ 10/9/25-10/16/25 ■ 10/16/25-10/23/25 ■ 10/23/25-10/30/25 ■ 10/31/25-11/5/25

Vertical Temperature Profiles from Temperature Probes at Chiquita Landfill for TP-30

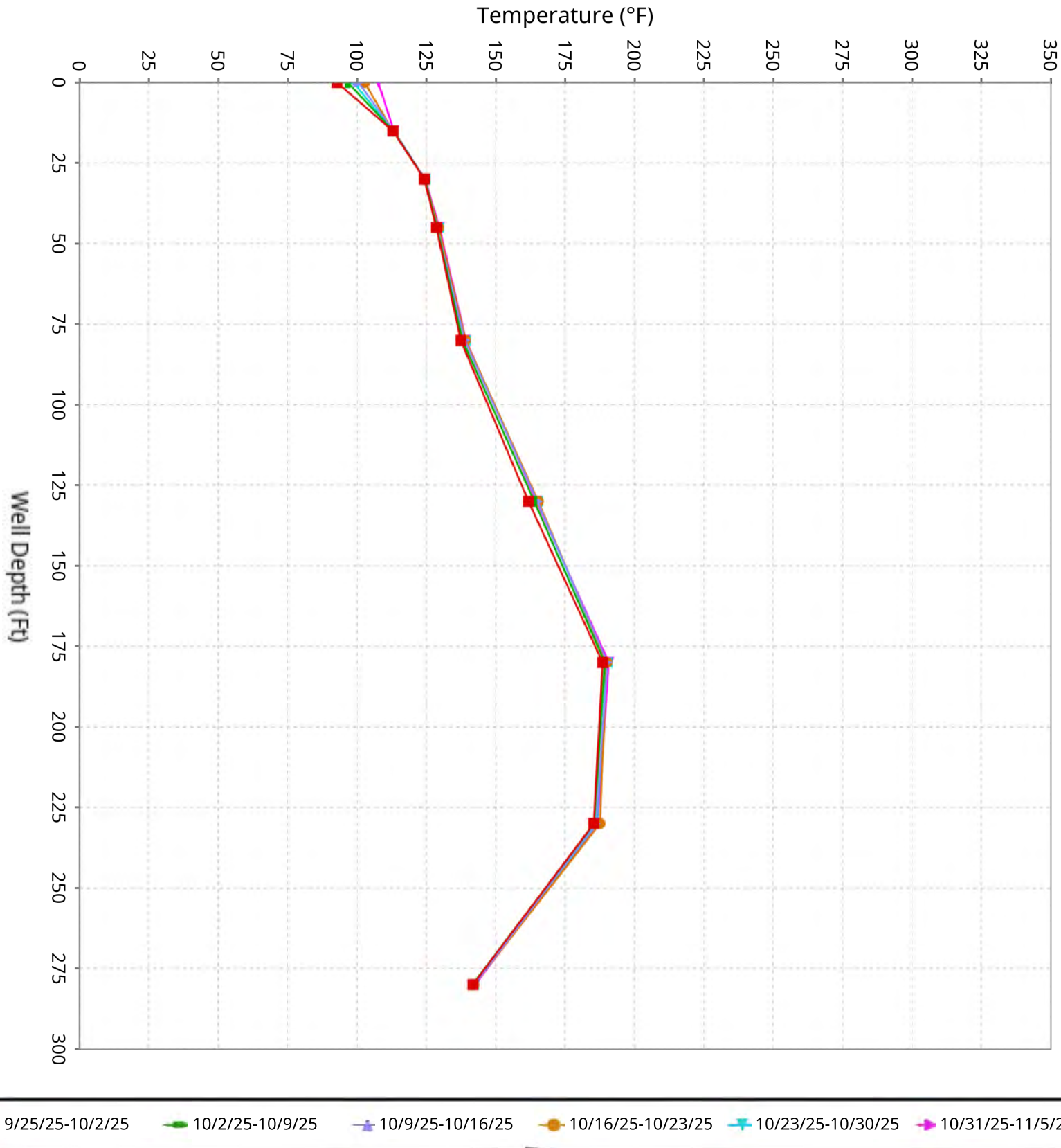
Maximum data for 9/25/2025 to 11/5/2025



■ 9/25/25-10/2/25 ■ 10/2/25-10/9/25 ■ 10/9/25-10/16/25 ■ 10/16/25-10/23/25 ■ 10/23/25-10/30/25 ■ 10/31/25-11/5/25

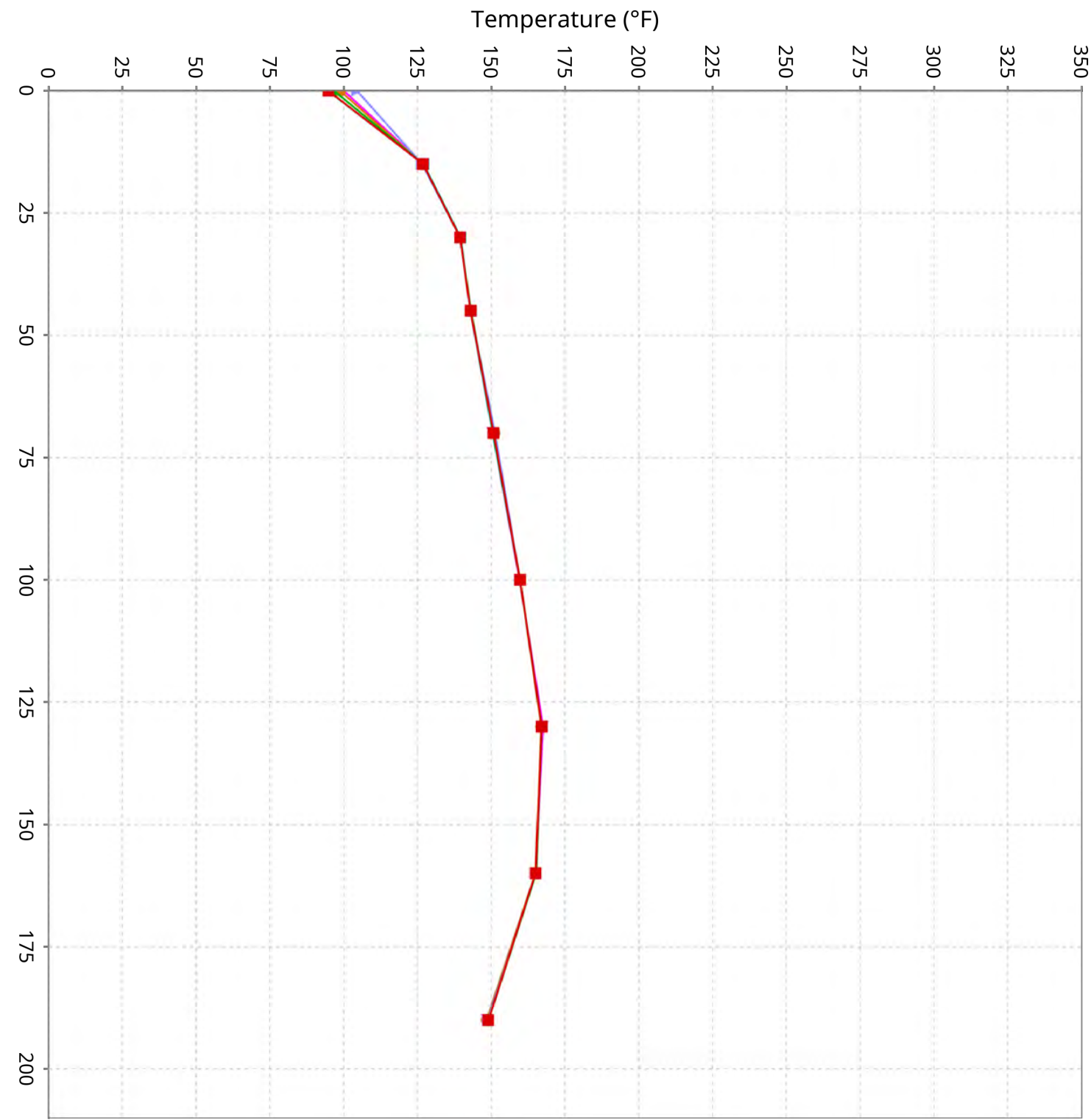
Vertical Temperature Profiles from Temperature Probes at Chiquita Landfill for TP-31

Maximum data for 9/25/2025 to 11/5/2025



Vertical Temperature Profiles from Temperature Probes at Chiquita Landfill for TP-32

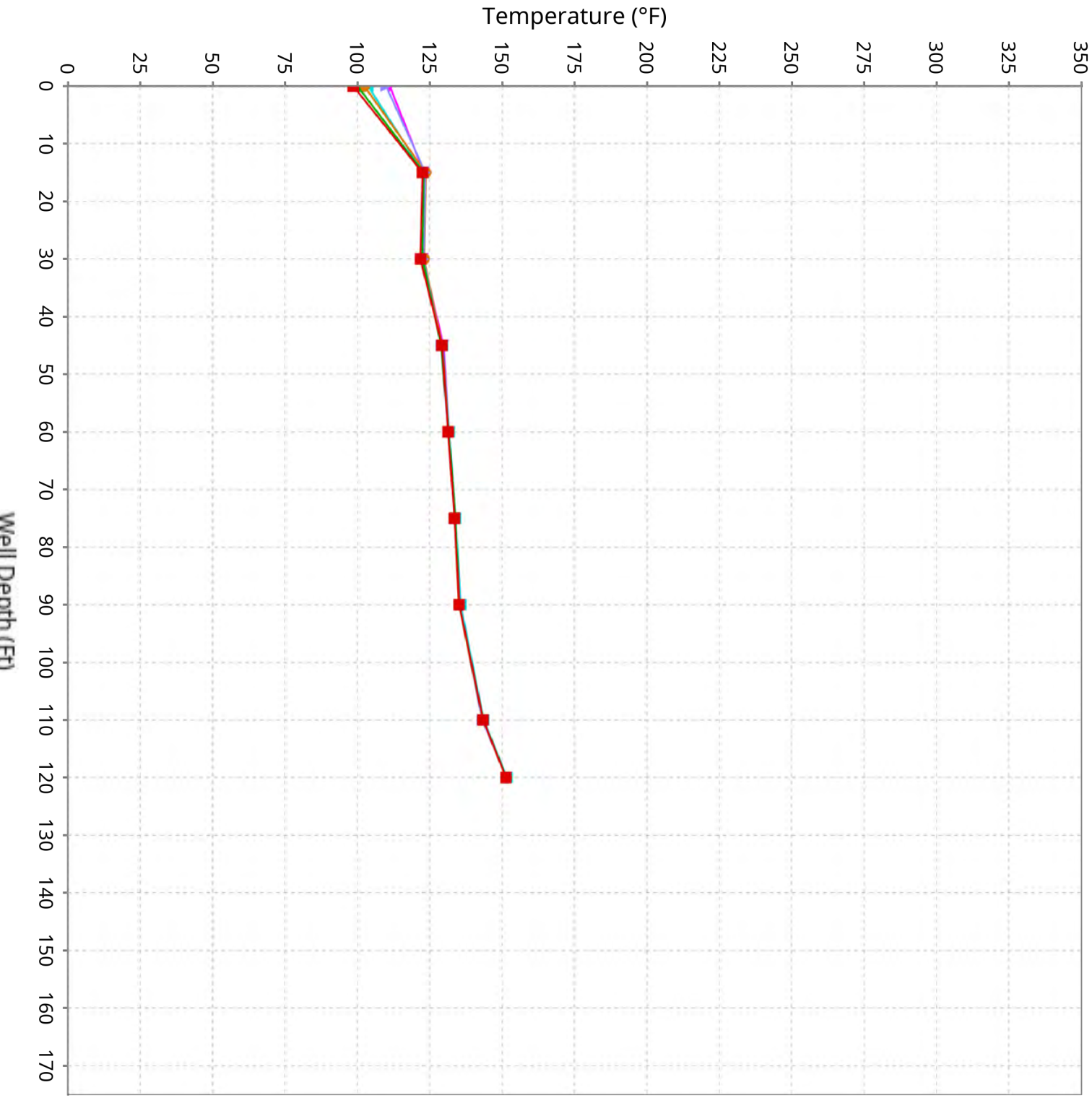
Maximum data for 9/25/2025 to 11/5/2025



■ 9/25/25-10/2/25 ■ 10/2/25-10/9/25 ■ 10/9/25-10/16/25 ■ 10/16/25-10/23/25 ■ 10/23/25-10/30/25 ■ 10/31/25-11/5/25

Vertical Temperature Profiles from Temperature Probes at Chiquita Landfill for TP-34

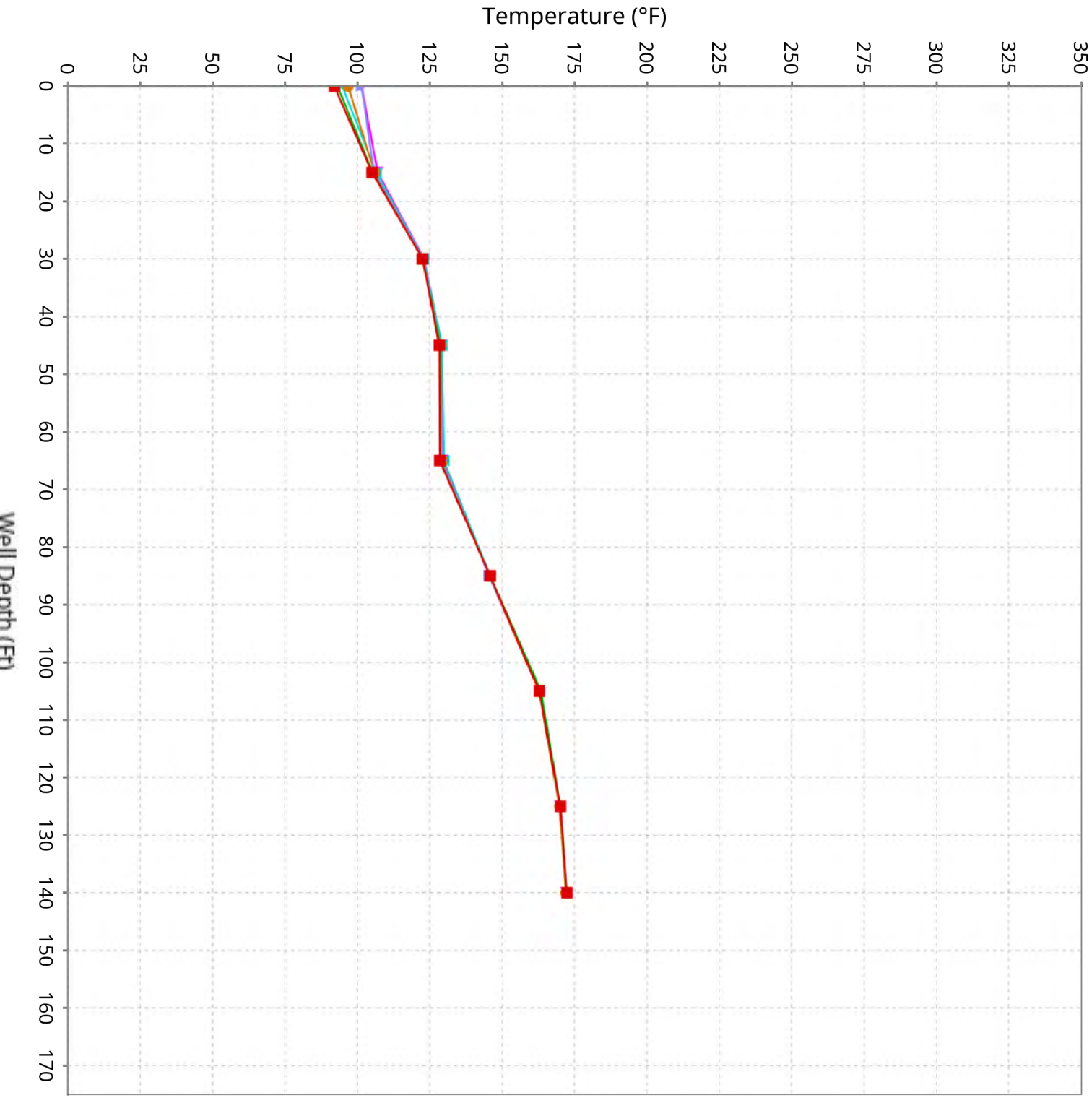
Maximum data for 9/25/2025 to 11/5/2025



■ 9/25/25-10/2/25 ■ 10/2/25-10/9/25 ■ 10/9/25-10/16/25 ■ 10/16/25-10/23/25 ■ 10/23/25-10/30/25 ■ 10/31/25-11/5/25

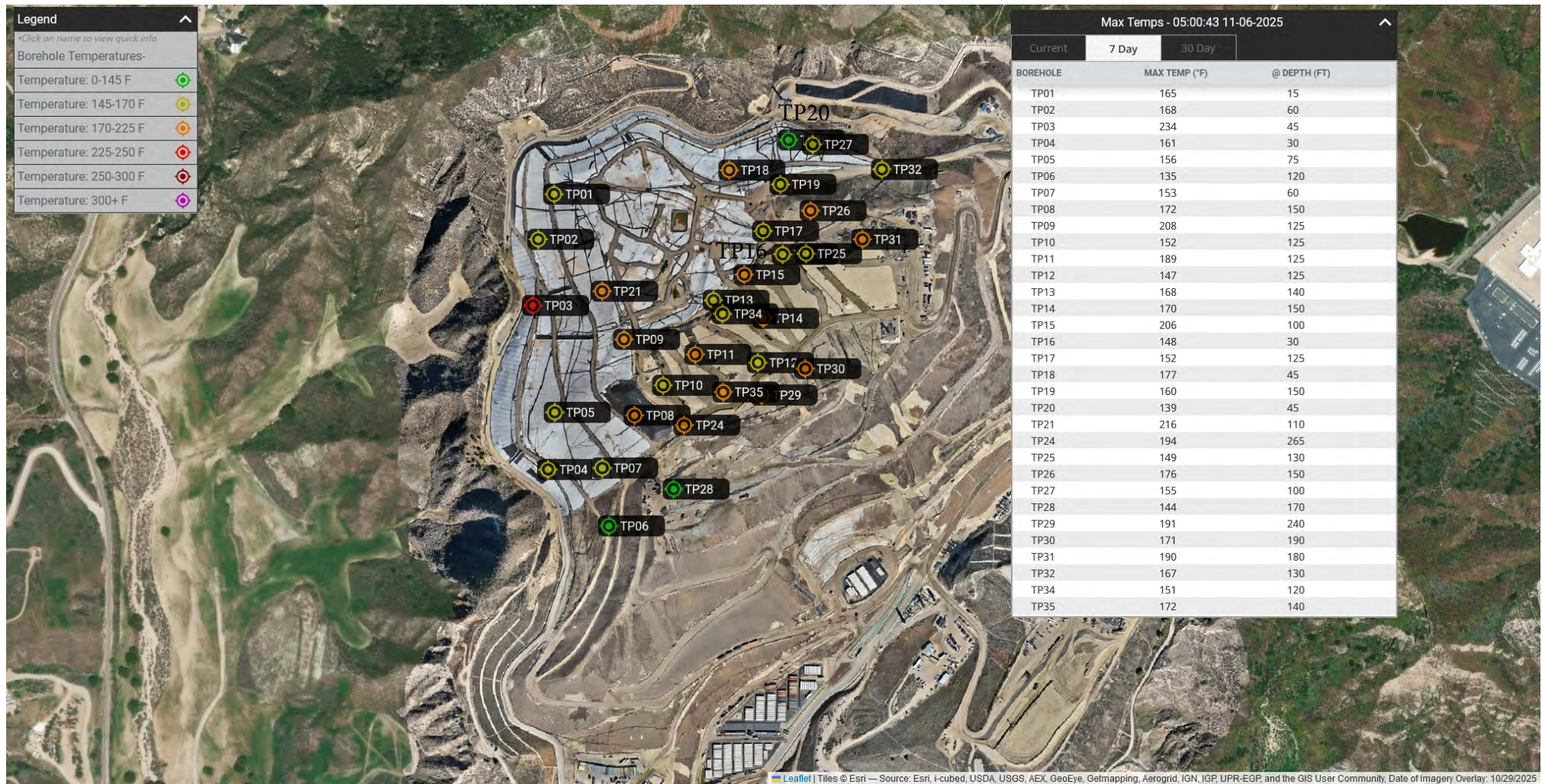
Vertical Temperature Profiles from Temperature Probes at Chiquita Landfill for TP-35

Maximum data for 9/25/2025 to 11/5/2025

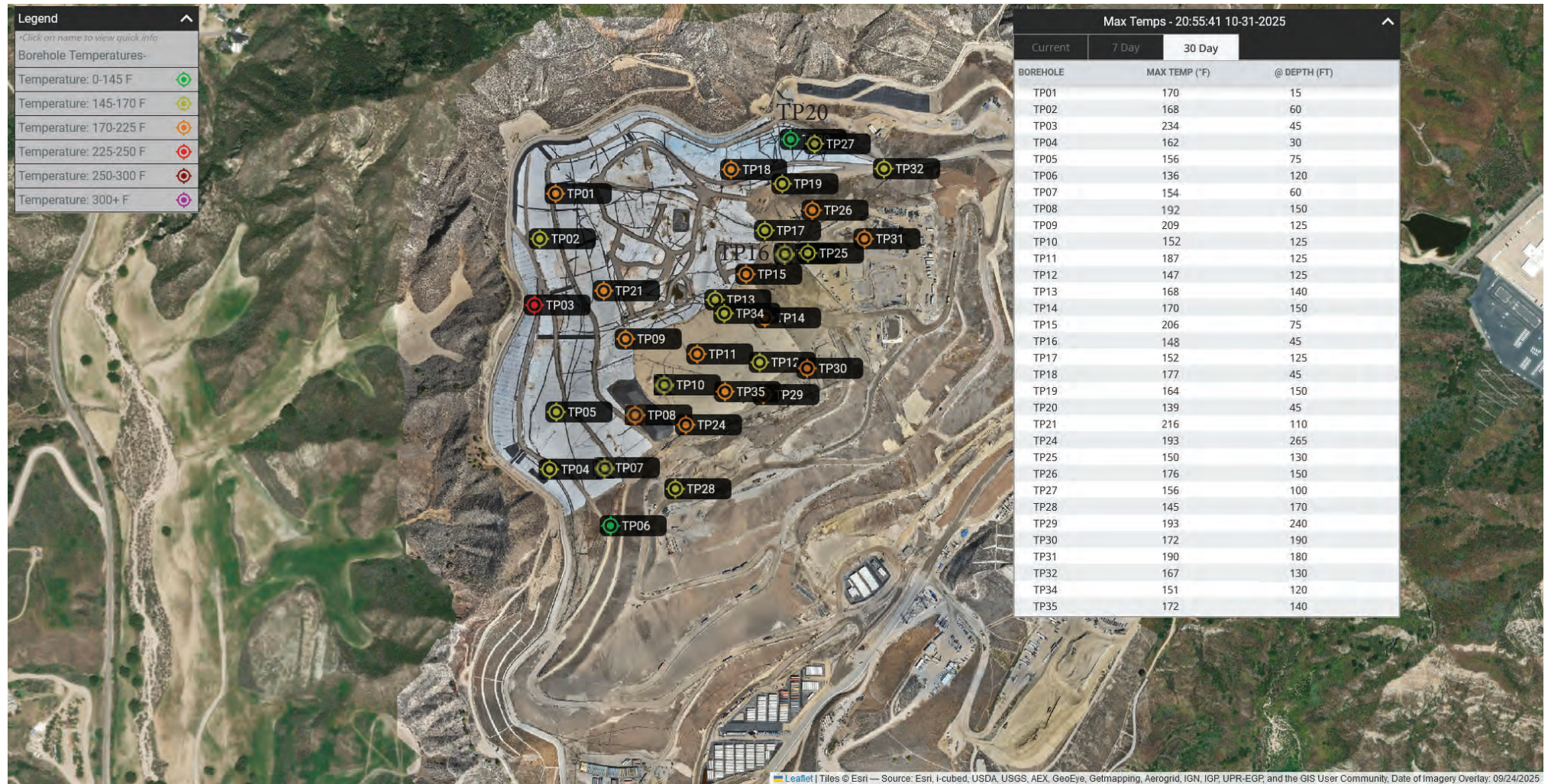


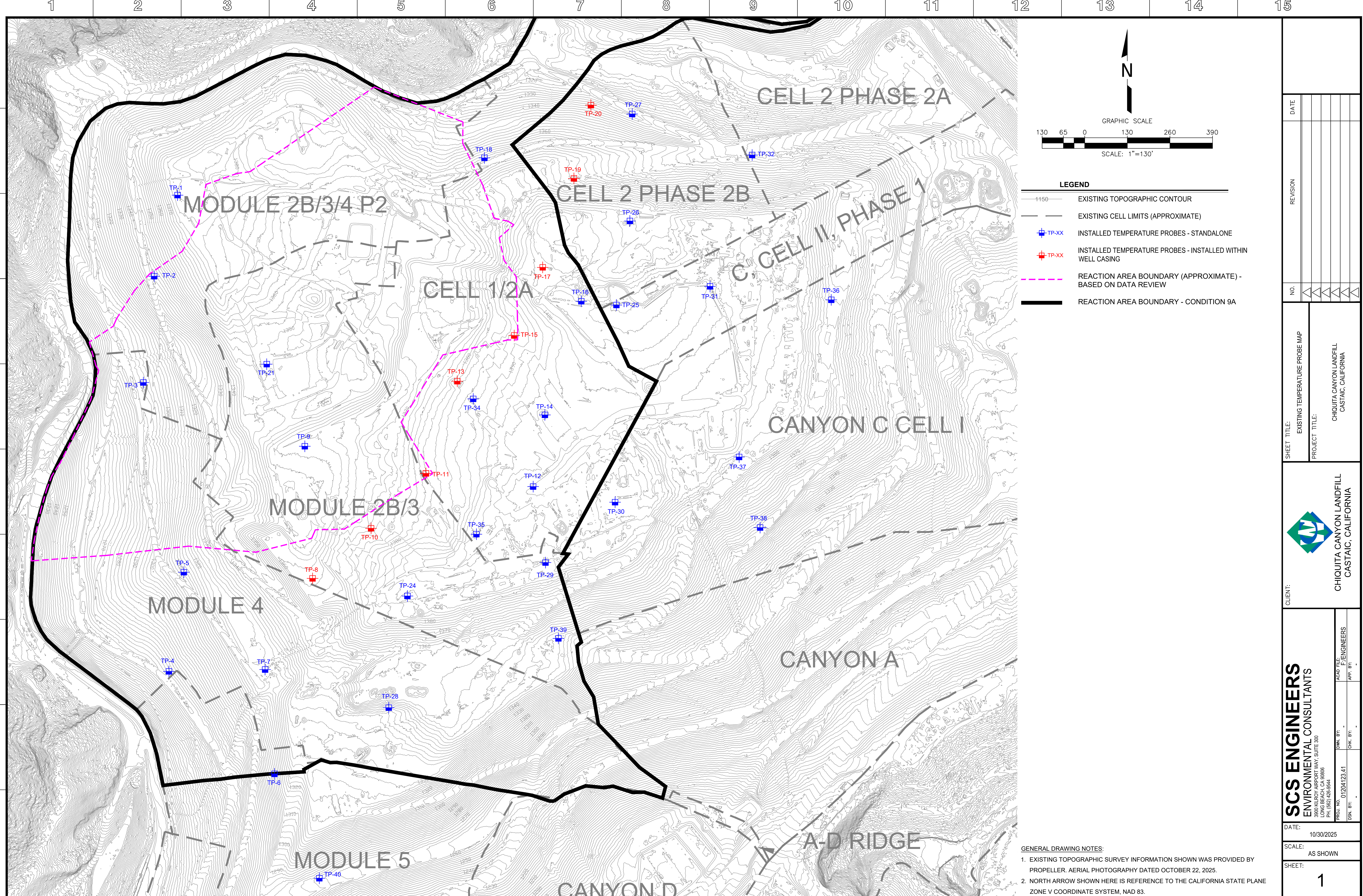
■ 9/25/25-10/2/25 ■ 10/2/25-10/9/25 ■ 10/9/25-10/16/25 ■ 10/16/25-10/23/25 ■ 10/23/25-10/30/25 ■ 10/31/25-11/5/25

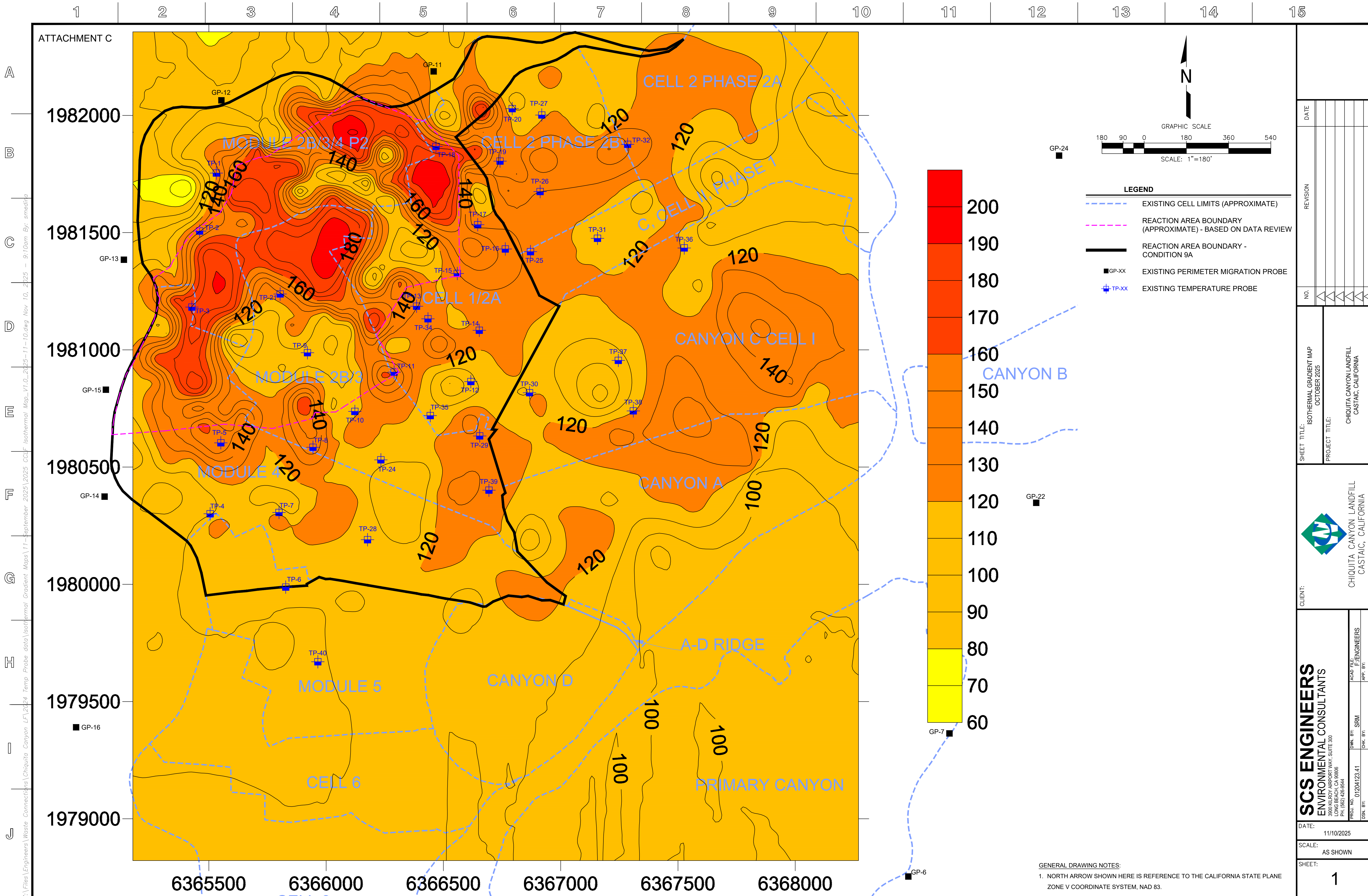
Maximum Vertical Temperature Map from Temperature Probes at Chiquita Landfill

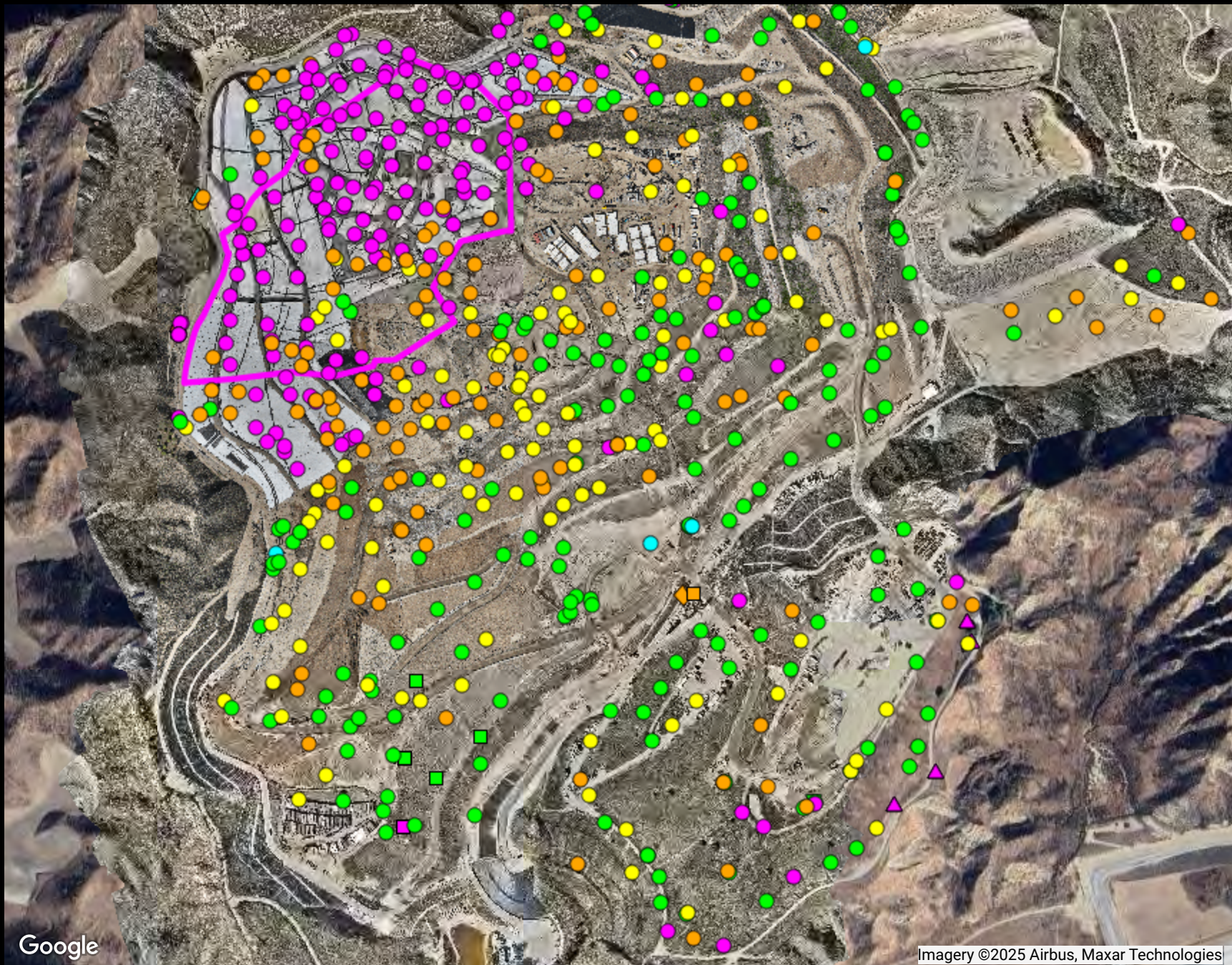


Thirty Day Maximum Vertical temperature Map from Temperature Probes at Chiquita Landfill









Ranges Mapped			# Points
≥ 0 and < 0.5			267
≥ 0.5 and < 0.9			165
≥ 0.9 and < 1.1			125
≥ 1.1 and < 1.5			192
≥ 1.5 and < 101			5

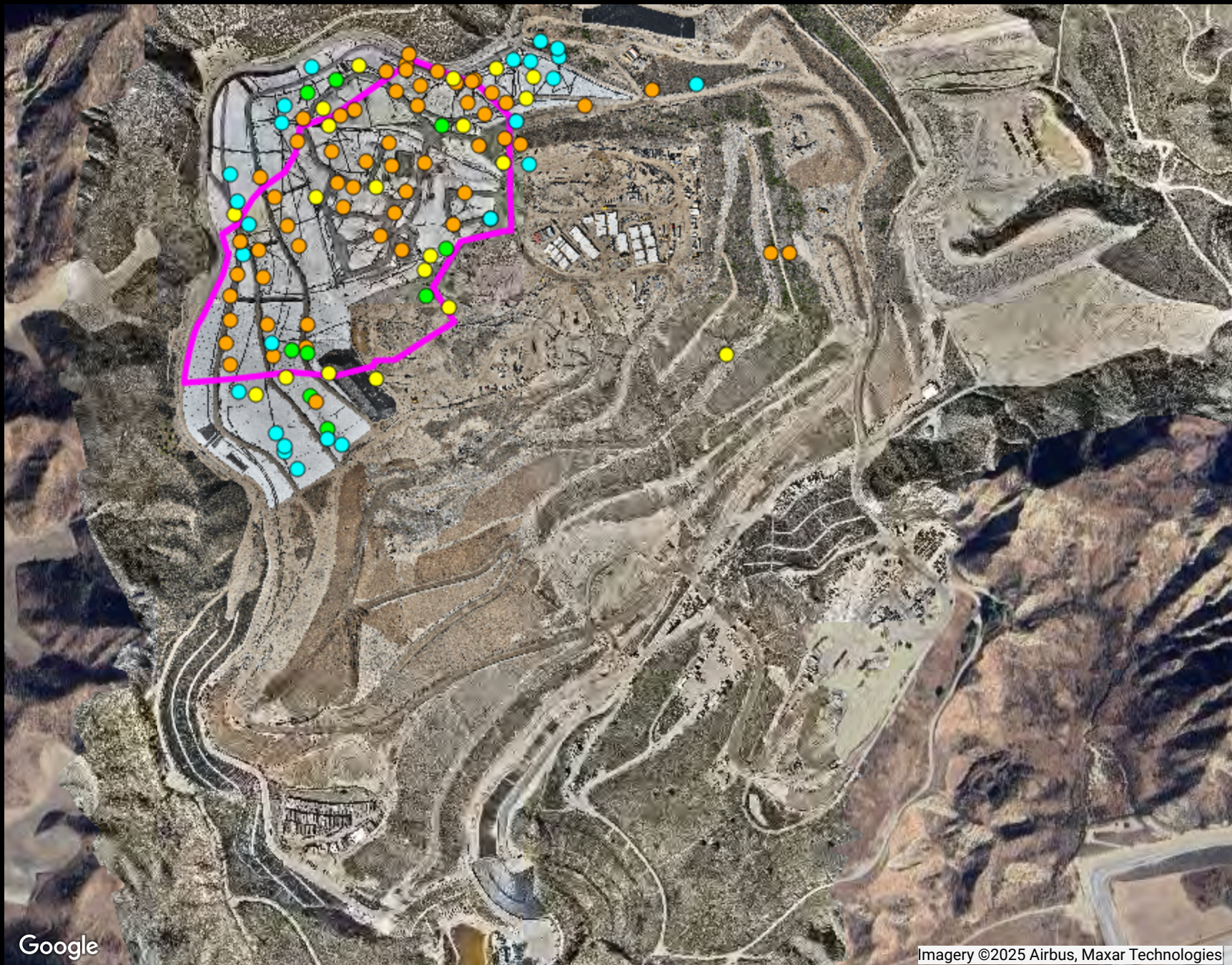
ATTACHMENT D

**Chiquita Canyon Landfill
Range Map
Parameter: CH4/CO2 Ratio (high range)
Analysis Method: Average**

Date Range: 10/01/2025 - 10/31/2025

Map generation date : 11/10/2025





ATTACHMENT E

Chiquita Canyon Landfill

Range Map

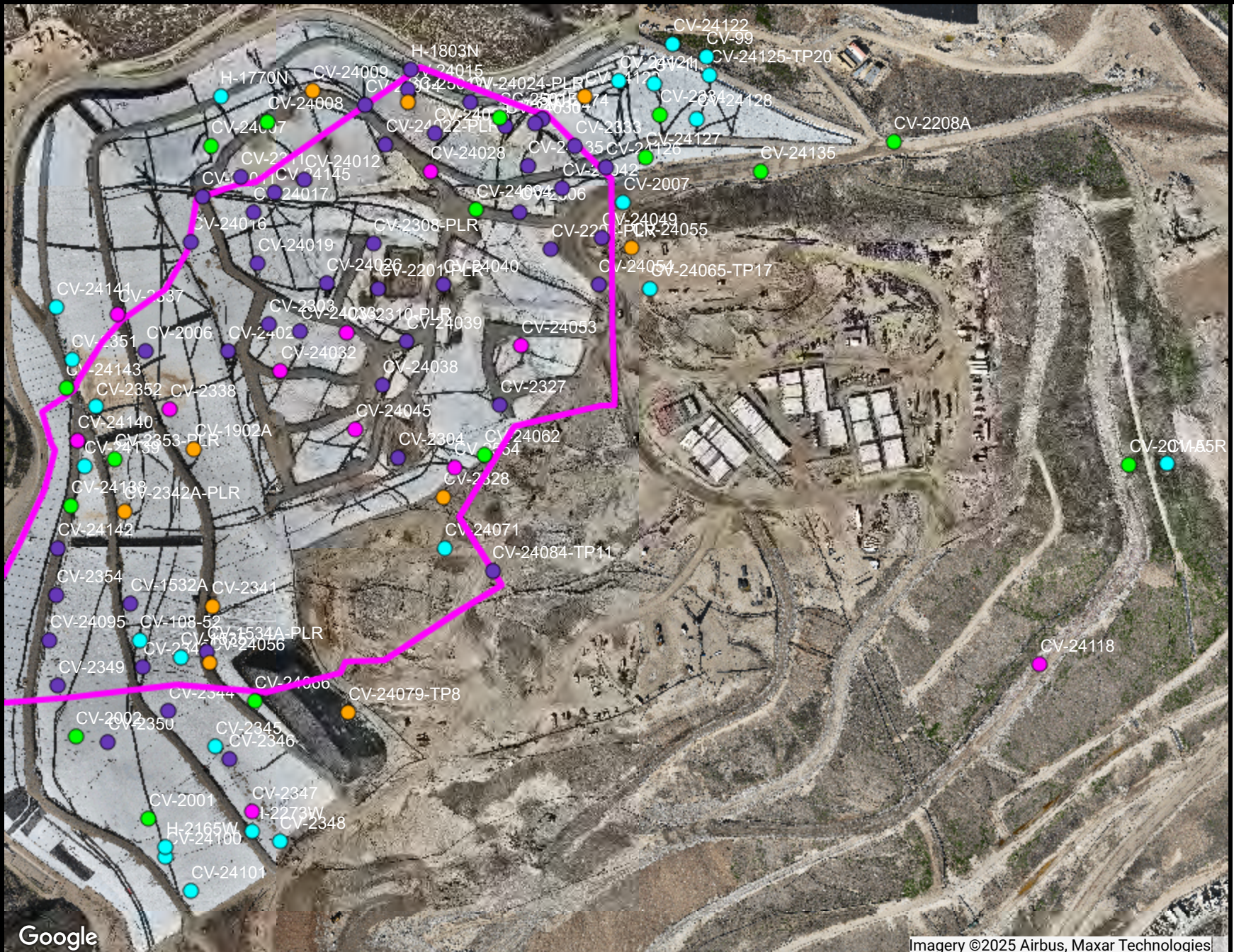
Parameter: H2 (mid range)

Analysis Method: Average

Date Range: 10/01/2025 - 10/31/2025

Map generation date : 11/10/2025





<u>Ranges Mapped</u>					# Points
>= 0	and < 500				23
= 500	and < 1000				16
= 1000	and < 1500				10
= 1500	and < 2000				11
= 2000	and < 1000000				49

Point Type Legend



ATTACHMENT F

Chiquita Canyon Landfill

Range Map

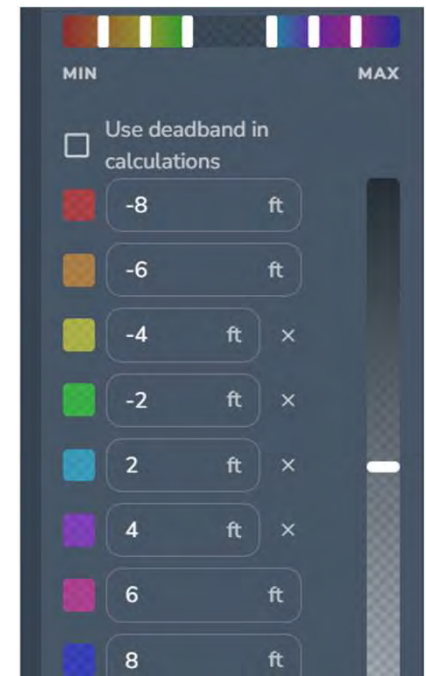
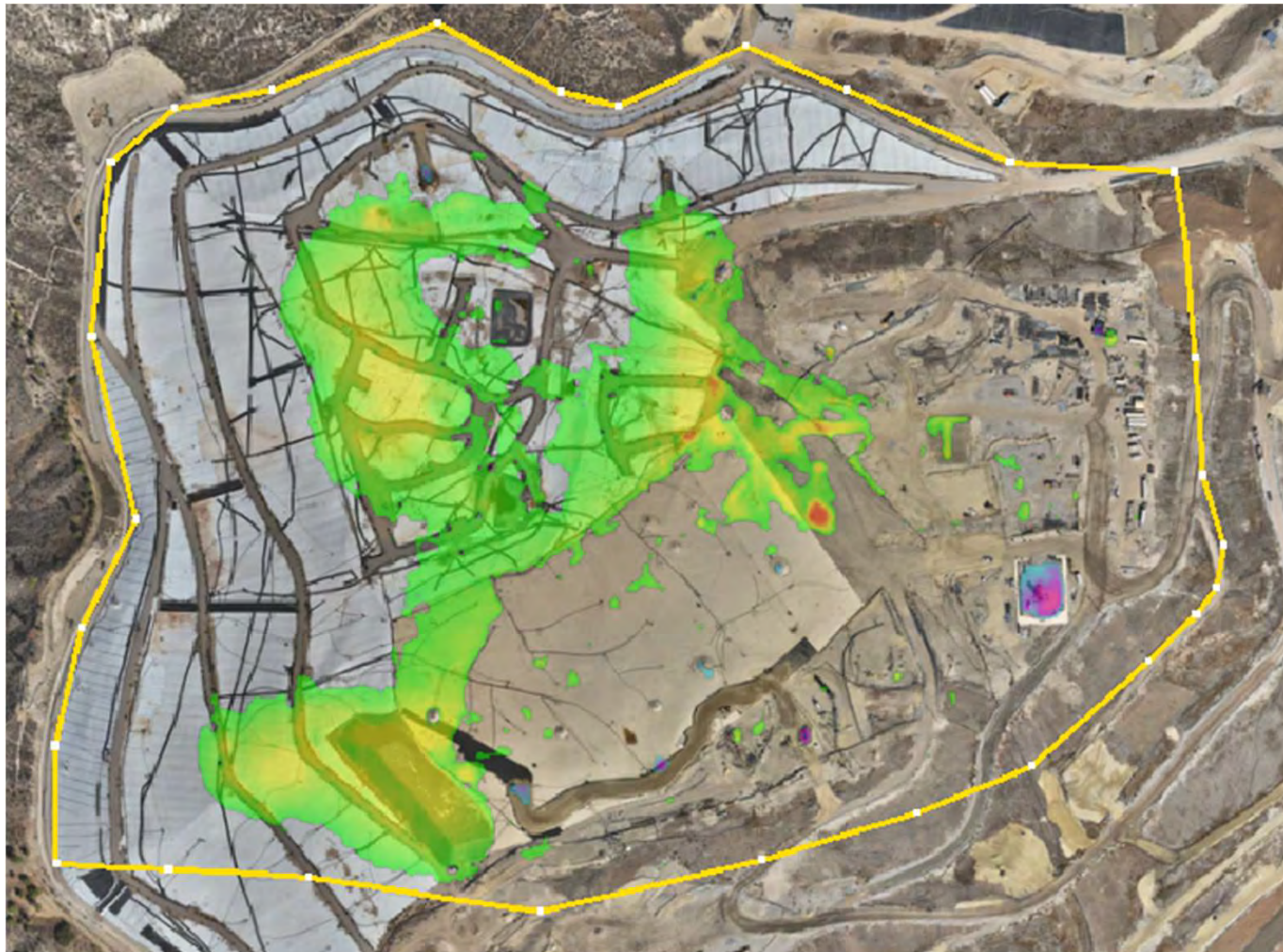
Parameter: CO (mid range)

Analysis Method: Average

Map generation date : 11/10/2025



Chiquita Canyon Landfill - Quarterly Isopach



October 1, 2025 Survey Image. July 2, 2025 vs. October 1, 2025